СИЗНИЧЕТ ИИП ФРЕПРОВОВНЕТЕН ИНИПЕПТИВНЕ SELLE HUNGER NABECTISS АКАДЕМИИ НАУК АРМЯНСКОЙ ССР

«РГРИЧИՆ ԳРЅПЪФВПЪЪЪРР ОБРРИСЕРИЯ ХИМИЧЕСКИХ НАУК

С. А. Вартаняя и Ш. О. Вибиля.	
Присоединение вторичных аминов к винилацегиленовым спиртам	347
I. Т. Есаян А. Г. Варданян—Исследования в области эфиров сульфокислот.	
Сообщение И Синтез 4-метил-7-кумариловых сульфоэфиров	353
A Л Миджови В. Г. Африкян и А. А. Дохикин-Исследования в повласти	
синтеза производных триазола-1,2,4: Сообщение І. Некоторые 3-(л-алко-	
исифения).5-меркаптотрназолы-1,2.4	357
А В Миджови А. Г. Африкян и А. А. Дохикян-Исследования в области	
синтеза производных триазола-1,2,4. Сообщении II, Некоторые 3-(n-ал-	
коксифения)-5-аякиямеркаптотриазовы-1,2,4	363
Критика и библиография	
Continue Con	200
В. Д. Азатян-, Синтезы гетероциклических соединений. Вып. 1.	369

ԽՄԲԱԳՐԱԿԱՆ ԿՈԼԵԳԻԱ

Վ. Դ. Ազաայան (դետ բարառուգար), Ա. Հ. Ալչուջյան, Վ. Գ. Աֆրիկյան, Գ. Ց. Բադևոսյան (հարագրի տեղակալ), Վ. Մ. Բառայան, Հ. Ա. Հարոյան, Մ. Գ. Մանվելյան, Ա. Լ. Մնջոյան (դատարի հ. Հ. Հ. Չալթիկյան, Ս. Հ. Վարդանյան, Ց. Վ. Քրմոյան։

РЕДАКЦИОННАЯ КОЛЛЕГИЯ

В. Д. Азатян (ученый секретарь), А. А. Алчуджан, А. А. Ароян, В. Г. Африкян, С. А. Вартанян, Т. В. Крмоян, М. Г. Манвелян, А. Л. Миджоян (ответ. редактор), В. М. Тараяч, Г. Т. Татевосян (зам. редактора), О. А. Чалтыкян.

BP 11043

Заказ № 404

Изд. № 1485

Тираж 700

Сдзно в набор 9/X 1957 г., подписано к печати 19/XII 1957 г. Бумага 70×1081/16 5,8 печ. л. **Քիմիական գիտ**, օնշիա

X. № 5, 1957

Серия химических маук

М. Г. Манвелян, Т. В. Крмоян и Л. Г. Шагинян

Изучение электропроводности растворов алюмината натрия

По изучению природы щелочных алюминатных растворов выполнено много работ [1—3], которые в основном указывают на их кристаллоидный характер. Однако некоторые особенности распада алюминатного раствора [4] и вероятность пептизации гидроокиси алюминия в разбавленных щелочных растворах [5] говорят о сложности равновесного состояния системы Al₂O₃—Na₂O—H₂O. Среди существующих теорий структур щелочных алюминатных растворов поличонная теория Курбатова [2] в принципе близка к действительности. Эта теория, однако, не учитывает явления комплексообразования и построена на маловероятном предположении, что первичными структурными единицами являются ионы AlO₂ и AlO₃...

Комплексообразование в растворах алкмината натрия впервые заметил Гейровский [6], по мнению которого нейтрализация Al(OH), происходит согласно следующей реакции:

$$AJ(OH)_2+OH \rightleftharpoons AI(OH)_4$$
. (1)

Термодинамические расчеты, сделанные Кузнецовым [7], показывают, что гидроокись алюминия, получаемая при переходе от кислой среды к щелочной, имеет бемитную природу. Очевидно, если с этой точки зрения обсудить существующие экспериментальные данные потенциометрического титрования AlCl₂ растворами NaCH [8], то можно показать, что растворение осадка происходит согласно следующей реакции:

$$HA1O_2 + H_2O + OH^- \implies A1(OH)_4. \tag{2}$$

Из уравнений (1) и (2) следует, что взаимодействие гидраргиллита и бемита со щелочными растворами приводит к комплексообразованию [9]. Надо отметить, что в литературе имеется указание на существование не только Al(OH)4, но также и Al(OH)6. [10]. Исследования Яара и Плечке [11] в области абсорбции ультрафиолетовых лучей растворами алюмината натрия подтверждают эту точку зрения. Согласно этим авторам, с увеличением отношения $\frac{Al}{Na}$ наблюдается переход координационного числа алюминия от 6 к 4. Насколько известно из литературы, лишь в одной работе [12] показано, что электропроводность растворов алюмината натрия резко изменяется при

отношении $\frac{Al}{Na} = 1:3$. В более поздних исследованиях Джозефа [13] такого факта не было замечено; автор говорит в пользу существования иона AlO2 на основании того факта, что возможно приготовить раствор алюмината натрия с отношением $\frac{Al}{Na} = 1$ при растворении металлического алюминия в NaOH. Однако, эту точку зрения Джозефа, по существу отрицающую возможность комплексообразования, следует считать необоснованной.

Во-первых, растворы алюмината натрия с отношением $\frac{Al}{Na}=0.8$ могут существовать не дольше суток [4]. Настоящим исследованием нами показано, что это правильно также и для растворов, приготовленных растворением металлического алюминия в NaOH. Во-вторых, алюминий не имеет координационного числа 2 и поэтому существование иона AlO_2 не является вероятным.

На основании изложенного выше, вероятными структурами ионов щелочных алюминатных растворов следует считать A1 (ОН) и A1 (ОН) . Ожидается также, что изменчивость координационного числа алюминия должна отражаться на физико-химических свойствах этих растворов. Выяснение роли различных комплексных ионов представляет большой интерес; с этой целью и было проведено настоящее исследование.

Экспериментальная часть

Измерение электропроводности производилось в аппарате, описанном нами в другой работе [14]. Было проведено 7 серий опытов с растворами следующих постоянных нормальностей по NaOH: 0,1; 1,93; 3,42; 4,5; 6,75; 11,00 при различных отношениях $\frac{Al}{Na}$. Кроме того, были изучены электропроводности растворов с постоянным отношением $\frac{Al}{Na}$ = 1:3 при различных концентрациях—от 0,25 до 5 н.

Растворы постоянных концентраций NaOH гото вились следующим образом. Сначала измерялась электропроводность чистого раствора NaOH данной концентрации, для приготовления которого использовался 19 н. (насыщенный) раствор NaOH, к которому добавляли дестиллированную воду до метки. Далее, во всех опытах то же самое количество 19 н. щелочи помещалось в мерную колбу и в нем растворялось взвешенное количество металлического алюминия в виде стружек. По охлаждении раствора добавлялась дестиллированная вода до метки и раствор фильтровался через стеклянный фильтр. Фильтрованные растворы сохранялись в течение суток и если видимого

осадка не наблюдалось, производилось измерение электропроводности в интервале температур 25—85°.

В таблице 1 приведены электропроводности указанных растворов только при 25 и 85°.

Таблица 1

Экнивалентные электропроволности растворов алюмината натрия при различных концентрациях NaOH

0,1 н. 1,93 н.		3,42 н.			4,5 н.			6,75 н.			11 н.						
Al Na	25 C	85°C	AI Na	25°C	S5.C	Al Na	25°C	85°C	Al Na	25°C *	85°C	A1 Na	25 C	85°C	A1 Na	25°C	85°C
0 0,37 0.56 0,74	215 216 134 98	395 275 197	0 0,03 0,07 0,13 0,21 0,26 0,32 0,37 0,45 0,58 0,71	120 111 104 95 81 80 54	244 131 218 213 200	0,04 C,03 0,12 0,19 0,24 0,31 0,41	81 73 65	200 193 189 189 174 171 157 135	0 0,056 0,130 0,25 0,41 0,58 0,78	85 78 71 59 44 30 21	195 186 154 149 119 85 67		54 49 47 42 33 26 20 15 12	142 132 126 102 90 60 50	0 0,01 0,02 0,04 0,07 0,13 0,27 0,40 0,54 0,64	18 15 10 6 3	86 84 83 81 71 55 41 27 16

Обсуждение полученных результатов

Известно, что реакция между алюминием и водой [15]

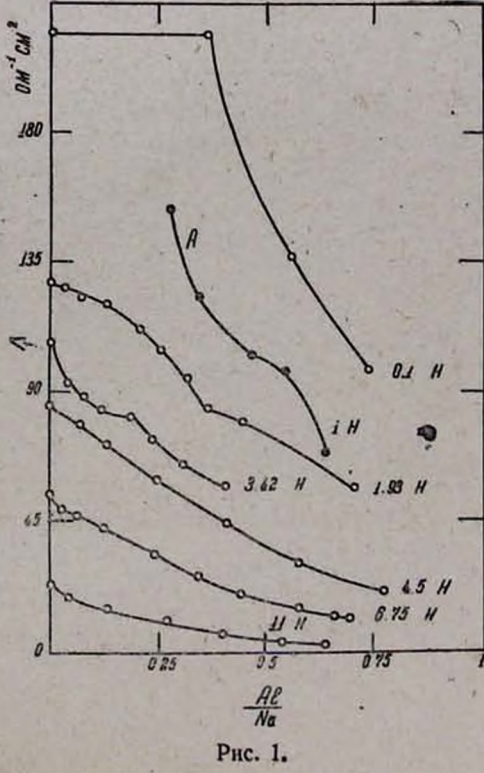
$$2A1+6H_2O = 2A1(OH)_3+3H_2$$
 (3)

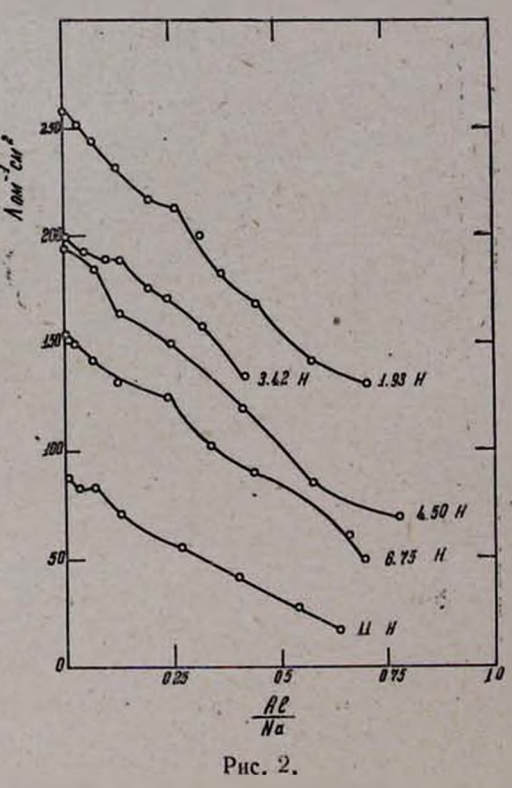
 должна идти до конца, если поверхность [металла не была покрыта пленкой гидроокиси алюминия. Следовательно можно предполагать, что при растворении стружек металла в едком натре сначала растворяется поверхностная пленка гидроокиси алюминия, после чего протекает реакция (3), а затем реакция между молекулой Al (OH)₃ и ионом OH⁻:

$$Al(OH)_3 + nOH^- \implies Al(OH)_3 (OH)_n^{-n}$$
. (4)

Настоящее иследование показывает, что равновесие (4) сложно в том смысле, что п имеет различные значения. Это иллюстрируется на рисунках 1 и 2, изображающих изменение значений эквивалентных электропроводностей растворов с увеличением отношения $\frac{Al}{Na}$ при 25 (рис. 1) и 85° (рис. 2). Аналогичные прерывные кривые получаются также при других температурах. Кривая А на рисунке 1 начерчена с использованием данных Джозефа [13].

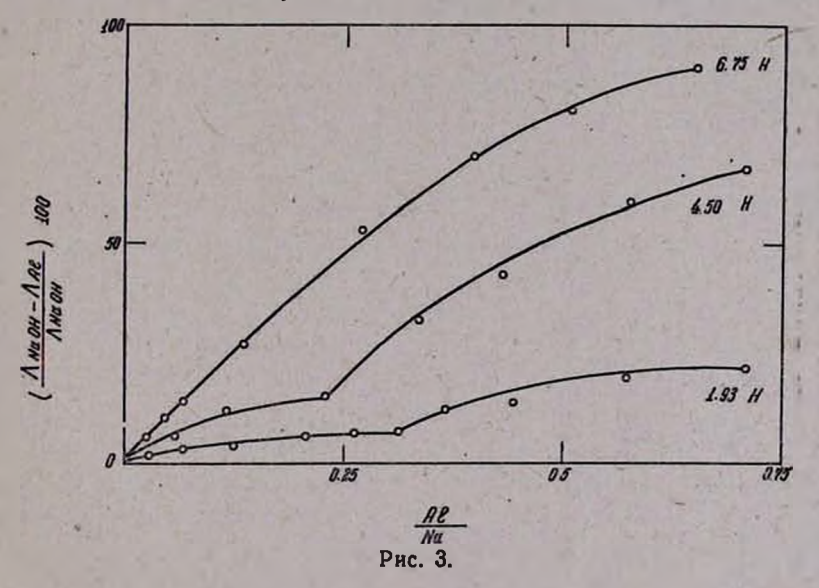
Из рисунков видно, что электропроводность 0,1 н. раствора не изменяется до отношения $\frac{Al}{Na}=0,37$. По Дхару и Чаттерджи [5] причина этого заключается в том, что растворение гидроокиси алю-





миния в NaOH представляет собой пептизацию частиц гидроокиси алюминия. На основании этого явления и была развита коллоидальная теория растворов алюмината натрия. Такой подход не может быть правильным для концентрированных растворов, особенно при отношении $\frac{A1}{Na} > 1:3$. В результате химической реакции, протекающей меж-

ла ду гидроокисью алюминия и ионами ОН $^-$, образуются новые виды различных ионов, подвижность которых меньше, чем подвижность иона ОН $^-$. Из рисунков видно, что превращение ионов зависит от концентрации NaOH и отношения $\frac{Al}{Na}$, а также от темпаратуры. Повидимому, ионы имеют метастабильный характер. Среди этих ионов более стабильным является ион, образующийся при отношении $\frac{Al}{Na} = 1:3$. Справедливость такого заключения видна из рисунка 3, на котором изображены относительные падения электропроводностей растворов NaOH при растворении в них металлического алюминия при 25°.



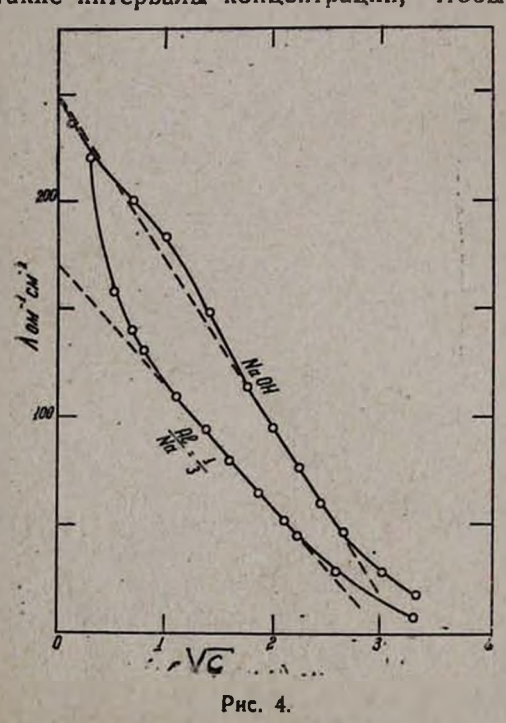
Если в растворах алюмината натрия с отношением $\frac{A1}{Na} = 1:3$ при 25° существует ион Al (OH)6°, то его ионная электропроводность, при бесконечном разбавлении, будет приблизительно равна ионной электропроводности трехвалентных комплексов типа $Fe(CN)_6$ °, т. е. порядка $110~\text{ом}^{-1}$ см². С целью проверки этого нами была изучена электропроводность щелочных алюминатных растворов с постоянным отношением $\frac{A1}{Na} = 1:3$ (табл. 2). Данные изображены на рисунке 4 вместе со значениями эквивалентных электропроводностей растворов NaOH, оп-

Таблица 2

				1 аол	uu
Эквивалентные	электропроводности	растворов	алюмината	натрия	
				111	
	с отношением АТ	= 1:3			
	No.				

				140				
№	Концентра- ция NaOH	25°C	35,5°C	41,8°C	50,7 -C	62.3 C	71,7°C	85,1 C
I 2 3 4 5 6 7	0,25 0,50 0,625 1,25 2,00 2,50 3,42	158 141 130 109 95 80 65	182 168 157 131 113 100 77	202 185 171 143 129 111 91	238 208 193 171 155 128 97	265 236 219 189 168 150	282 259 242 209 183 164 132	328 291 269 222 205 182 152
8	4,50	52	64	73	86	100	113	133
9	5,00	48	56	94	76	93	101	119
10	6,70	27	36	43	52	64	. 74	87
11	11,00	7	12	14	21	28	35	46

ределенных нами ранее [14]. Экстраполяция кривых представляет некоторые трудности, порождаемые тем, что вследствие пептизации $Al(OH)_3$ в разбавленных растворах кривая $\frac{Al}{Na}=1:3$ постепенно сливается с кривой NaOH. Очевидно, в данном случае нужно избрать такие интервалы концентраций, чтобы экстраполированные значения



электропроводности алюмината натрия имели по крайней мере некоторые относительные величины по сравнению с экстраполированными значениями NaOH. Как видно из рисунка 4, в интервале концентраций от 1 до 5 н. существует прямолинейная зависимость между эквивалентной электропроводностью и квадратным корнем от концентрации как для растворов NaOH. так и для алюмината натрия. Применяемый относительный метод экстраполяции стрирован на рисунке 4. Экстраполированное значение эквивалентной электропроводности NaOH равно 250 ом⁻¹см², а алюмината натрия - 170 ом см^а. Разность между ионными

электропроводностями равна 80 ом $^{-1}$ с M^2 . Если принять, что ионная электропроводность ОН равна 190 ом $^{-1}$ с M^2 , то получается что ионная электропроводность аниона в растворах алюмината натрия с отношением

 $\frac{Al}{Na}=1:3$ равна 110 ом $^{-1}c.m^2$. Эта величина говорит в пользу существования иона $Al~(OH)_3$ в интервале концентраций от 1 до 5 н. при отношении $\frac{Al}{Na}=1:3$ при 25° .

Надо подчеркнуть, что опытные данные не опровергают возможности образования комплексных соединений, в которых координационное число алюминия равно 5 и 8, хотя, очевидно, эти ионы должны быть менее стабильными, чем ион с координационным числом 6. Что же касается иона A1 (ОН), то наше исследование не подтверждает его существования.

На данной стадии изучения хочется сделать попытку объяснить тот факт, что в интервале отношений $\frac{A1}{Na}$ от 1:3 до 2:3 не наблюдается большого изменения электропроводности растворов алюмината натрия, особенно в концентрированных растворах.

Известно, что стабилизация коллондных частиц осуществляется также комплексными ионами и на основании этого можно предположить, что при избытке алюминия в растворах имеет место стабилизация $Al(OH)_3$ с помощью $Al(OH)_6$. Следовательно, пептизация $Al(OH)_3$ имеет место, с одной стороны, при отношении $\frac{Al}{Na} < 1:3$ в разбавленных растворах и, с другой стороны, при отношении $\frac{Al}{Na} > 1:3$ в концентрированных растворах. Истинными растворами являются растворы алюмината натрия при отношении $\frac{Al}{Na}$ близком. к 1:3 в интервале концентраций NaOH от 1 до 5 н.

В заключение следует обратить внимание на тот факт, что равновесное состояние растворов алюмината натрия сложнее, чем равновесное состояние растворов силиката натрия. Как было показано нами [16], в растворах силиката натрия эквивалентная электропроводность постепенно уменьшается с увеличением отношения $\frac{S1O_2}{Na_0O}$ всех концентрациях от 0,1 до 8,5 н. NaOH как при 25°, так и при 85°, без точек перехода. Ввиду того, что в растворах силиката натрия возможна так называемая конденсация анионов, отсутствие перегнбов было объяснено тем, что различные анионы, находящиеся в растворах силиката натрия в равновесном состоянии, принадлежат к общему структурному типу. На основании результатов настоящего исследования можно сказать, что причина сложности состояния равновесия растворов алюмината натрия по сравнению с растворами силиката натрия и прерывистого хода кривых электропроводности заключается в изменчивости координационного числя алюминия. Таким структурные превращения, связанные с изменением координационного числа, хорошо отражаются на макроскопических физико-химических свойствах раствора.

Выводы

Изучена электропроводность растворов алюмината натрия с целью выяснения роли различных комплексных ионов. Показано, что существование иона $AI(OH)_6$ достаточно вероятно при отношении $\frac{AI}{Na}=1:3$ в определенных интервалах концентрации NaOH. Сложность равновесного состояния растворов алюмината натрия, отражающаяся на электрических свойствах этих растворов, является следствием непостоянства координационного числа алюминия.

Ионы с координационным числом 6 по-видимому более стабильны, чем ионы с координационными числами 5 и 8. Исследование не подтверждает существования иона Al(OH). Пептизация частиц гидроокиси алюминия имеет место, с одной стороны, в разбавленных растворах при $\frac{Al}{Ns} < 1:3$ а, с другой, в концентрированных растворах

при $\frac{Al}{Na} > 1:3.$

Химический институт АН АрмССР

Поступило 8 V 1957

Մ. Գ. Մանվելյան, 8. Վ. Քրմոյան և Լ. Գ. Շահինյան

ՆԱՏՐԻՈՒՄԻ ԱԼՅՈՒՄԻՆԱՏԻ ԼՈՒԾՈՒՅՔՆԵՐԻ ԷԼԵԿՏՐԱՀԱՂՈՐԴՉՈՒԹՅԱՆ ՈՒՍՈՒՄՆԱՍԻՐՈՒԹՅՈՒՆԸ

ичофофии

Բնմիտի և հիդրարդիլիտի վրա հիմնալին լուծուլթնների ներդործությունը կավագույն կերպով կարելի է բացատրել կոմպլեքս իտների առաջացումով։ Մլուս կողմից, հաշվի առնելով ալլումինիումի փոփոխական կոորդինացիոն Թիվ ունենալը և մի շարք փաստական տվլալներ, հիմնալին ալյումինատալին լուծուլթններում գոլություն ունեցող իտների հավանական կառուցվածքը պետք է լինի Al(OH), և Al(OH₆) , Ալս հարցը լուսաբաննու համար ուսումնասիրել կոնցենտրացիալի և ջերմաստիճանի լայն ինտերվալներում։ Լուծուլթները պատրաստել ենք NaOH-ի մեջ մետաղական մաքուր ալլումինիում լուծերվ, չափումները կատարել 24 ժամ հետո, նստվածք ստացվելու դեպքում նուծությենները ֆիլտրելով։ Հնարավոր էի եղել պատրաստել ալնպիսի լուծուլթների հեր հետոների հեր հետոների հեր հետոների հեր հետոների հեր հետոների հետոների հեր հետոների հետում հետոների հետոների հետոների հետոների հետություն հետոների հետոների հետոների հետություների հետոների հետոների հետությանի հետություների հետությանի հետության հետություների հետուհետությունը համանական հատությանի հետությանին հետության հետության հետությանին հետության հ

որաչուղորդչության փոփոխումը ոչ շարունակական է, որը կարելի է բացաթյուն նաարիումի սիլիկատի լուծուլթների, ալյումինատի լուծույթների էլեկ-Ստացված փորձնական տվյալները ցույց կեն տալիս, որ ի հակադրուտրրել ալլումինիումի կոորդինացիոն ԹվիփոփոխականուԹլամբ։ Առաջացած $\frac{\mathrm{Al}}{\mathrm{Na}}=1:3$ դեպքում իռների որոշ կալունուԹլան

 $rac{N_2}{N_2}$ արվում է։ Այս դիտողու $rac{N_1}{N_3}=1:3$

հաստատուն հարարնրութվուն ունեցող լուծուլթնների էլեկտրահաղորդչութվունը և այն հաժեմատելով մաքուր NaOH-ի լուծուլթնների էլեկտրահաղորդչութվան հետ, հարարերական նշանակութվուն ունեցող էքստրապոլացմանչ եղանակով ցույց տվել, որ ալյումինատ իոնի էլեկտրահաղորդչութվան արժեքը հավասար է 110 օմ - և Ամ², ալսինքն նույն մեծութվան մի թիվ, ինչ սպասելի է Fe(CN)- տիպի կոմպլեքս իոների համար։

Ալսպիսով, կարևլի է հզրակացնել, որ ալյումինատալին լուծուլթնևրում $\mathrm{Al}(\mathrm{OH})_{-}^{-}$ իոնի առկալությունը հնարավոր է։ Մեր աշխատանքը չի հաստատում $\mathrm{Al}(\mathrm{OH})_{-}^{-}$ իոնի գոլությունը, թեև չի ժխտում $\mathrm{Al}(\mathrm{OH})_{-}^{-}$ և $\mathrm{Al}(\mathrm{OH})_{-}^{-}$ և $\mathrm{Al}(\mathrm{OH})_{-}^{-}$ և $\mathrm{Al}(\mathrm{OH})_{-}^{-}$ և $\mathrm{Al}(\mathrm{OH})_{-}^{-}$

և խիտ լուծուլ θ նևրի դևպքում ևրբ $\frac{\mathrm{Al}}{\mathrm{Na}}>1:3$, ամենալն հավանականու θ լամ բտեղի է ունևնում $\mathrm{Al}(\mathrm{OH})_3$ -ի պևպտիզացիա, ալսինքն լուծուլ θ ները գտնվում են կոլոիդական վիճակում։

ЛИТЕРАТУРА

- 1. Ф. Н. Строков, В. А. Мусяков, Р. И. Меламед, Р. В. Прокофьев, Труды ГИПХ 32, 95 (1940).
- 2. Е. П. Функ, ЖФХ, 7, 899 (1936).
- 3. H. Bode, Z. anorg, u. allgem. Chem., 269, 44 (1951).
- 4. А. М. Беляев, Металлургия легких металлов. Госцветметиздат, Москва, 1954 г.
- 5. N. R. Dhar, A. C. Chatterji, Trans. Farad. Soc., 16, 122 (1921).
- 6. J. Heyrowsky, J. Chem. Soc., 117/118, 1013 (1922).
- 7. С. И. Кузнецов, ЖПХ, 23, 1187 (1950).
- 8. W. F. Hillebrand, J. Am. Chem. Soc., 35, 864 (1913).
- 9. С. И.Кузнецов, ЖПХ, 25, 703 (1952).
- 10. Ф. Ф. Вольф, С. И. Кузнецов, ЖПХ, 26, 298 (1953).
- 11. K. F. Jahr, H. Plaetschke, Naturwiss., 38, 302 (1951).
- 12. M. Prasad, S. M. Metha, S. S. Joshi, J. Ind. Chem. Soc., 7, 973 (1930).
- 13. O. Joseph, J. Univ. Bombay, Sec. A20, Science № 30, 39 (1951).
- 14. М. Г. Манвелян, Т. В. Крмоян, А. Г. Еганян, А. М. Кочарян, Изв. АН АрмССР, с. ФМЕТ наук, 8, № 4, 73 (1955).
- 15. Л. Лепинь, А. Тетере, А. Шмит, ДАН СССР, 88, 871 (1953).
- 16. М. Г. Манвелян, Т. В. Кр.моян, А. Г. Еганян, Изв. АН АрмССР, СХН, 10, 225 (1957).

Քիմիական գիտ, սեբիա

X, № 5, 1957

Серия химических наук

В. П. Петросян

Электрические свойства фосфатных стекол

В то время как исследованию электрических свойств силикатных и борных стекол посвящено много работ, электрические свойства фосфатных стекол остаются мало изученными.

Основным стеклообразующим окислом в фосфатных стеклах явяется фосфорный ангидрид. В стекле атом фосфора, также каки атом кремния в силикатных стеклах, тетраэдрически окружен атолиами кислорода, расположенными в вершинах тетраэдра. Связь меж лу двумя смежными тетраэдрами осуществляется их общей вершиной, причем атом кислорода, находящийся в этой вершине, связывается с двумя атомами фосфора. Ввиду пятивалентности фосфора один из атомов кислорода связывается с ним двойной связью [1], поэтому один из углов кислородного тетраэдра оказывается свободным. Следовательно, структурная сетка чистого фосфатного стекла сильно деполимеризована. Этим, по-видимому, объясняется низкая температура размягчения фосфатных стекол и их слабая химическая устойчивость.

На основании изучения плотности, показателя преломления, дисперсви, молекулярной поляризации и молекулярного объема фосфатных стекол, содержащих ионы двухвалентных металлов, Кордес [2] пришел к выводу, что некоторые двухвалентные ионы (Be++, Mg++, Zn++) могут входить в структурную сетку стекла. К этому же выводу приходит Стенворт [3].

Известно, что окись алюминия не образует стекла, но вместе с другими стеклообразующими окислами способна входить в структурную сетку стекла. При этом алюминий входит в тетраэдрическую координацию с кислородом. В фосфатных стеклах он вызывает образование структуры, подобной структуре стеклообразного кремнезема [4]. Даже малое прибавление глинозема укрепляет структурную сетку фосфатного стекла. Алюмофосфатные стекла мало гигроскопичны и устойчивы по отношению к действию воды и кислот [5]. Температура варки и отжига алюмофосфатных стекол выше температуры варки и отжига двухкомпонентных фосфатных стекол. Исследования в области сантиметровых волн показали, что наличие глинозема в фосфатном стекле уменьшает диэлектрические потери в них [6].

Особенности структуры фосфатных стекол отражаются на их электрических свойствах. Нейвис и Грин [6], при исследовании диэлектрических потерь в фосфатных стеклах при сверхвысоких частотах обнаружили, что несмотря на отсутствие щелочных нонов в стекле, потери в них больше, чем в силикатных и борных стеклах. Сте-

велс [7] указывает, что, если в силикатных стеклах максимум диэлектрических потерь в области сверхвысоких частот наблюдается при частоте 10^{12} сек. ⁻¹, то в фосфатных стеклах он обнаруживается при меньших частотах. Диэлектрические потери в области сантиметровых длин воли вызываются резонансным колебанием ионов—модификаторов в электрическом поле [7].

Смещение максимума диэлектрических потерь в фосфатных стеклах к меньшим значениям частоты по сравнению с положением максимума диэлектрических потерь в силикатных стеклах в указанной области частот объясняется ослаблением связи иона-модификатора с

общим структурным каркасом фосфатного стекла.

Как показали Волджер и Стевелс [8], на кривой температурной зависимости угла диэлектрических потерь в стекле состава 30 мол 0 / $_{0}$ РbO и 70 мол 0 / $_{0}$ Р $_{2}$ О $_{6}$, в области весьма низких температур при чачастоте f=32 кги отсутствует максумум диэлектрических потерь, тогда как в силикатных стеклах, содержащих ионы двухвалентных металлов, этот максимум наблюдается [8, 9].

Диэлектрические потери в области весьма низких температур, по-видимому, объясняются релаксационным движением элементов структурной сетки стекла [10], связанным с деформацией кислородного тетраэдра или группой тетраэдров. Возможно, что в фосфатных стеклах релаксирующим атомам кислорода приходится преодолевать потенциальный барьер малой высоты, сравнимый с энергией теплового движения в области весьма низких температур, и максимум диэлектрических потерь не обнаруживается.

В настоящей работе делается попытка изучения природы процессов в стекле в электрическом поле путем систематического исследования электрических свойств фосфатных и алюмофосфатных стекол.

Экспериментальная часть

Стекла изготовлялись из (NH₄)H₂PO₄, карбонатов различных металлов и гидрата окиси алюминия. Все реактивы были взяты марки "ЧДА" и "ХЧ". Фосфатные стекла варились в корундовых тиглях при температуре до 1100°С в течение 3—3¹/₂ часов. Алюмофосфатные стекла варились при температуре 1250—1300° в течение четырех часов. Отжиг стекол производился в муфельной печи при температуре от 400 до 550° в зависимости от состава стекла. Отсутствие напряжений в стекле проверялось поляриметром. Образцы для измерений изготовлялись в виде круглых пластин толщиной 1—1,5 мм и диаметром 40—50 мм, электроды наносились на образцы методом вжигания серебряной пасты. Образец зажимался между двумя электродами, находящимися в стеклянной колбе. Перед измерением он прогревался до температуры 150—170° при откачивании воздуха для устранения действия влаги. Измерения диэлектрической проницаемости (ε) и угла диэлектрических потерь (tg д) производились с помощью измерителей

емкостей и угла диэлектрических потерь типа МЛЕ-1 и ИП-2. Показатель преломления стекол п определялся методом Обреимова [11], плотность—методом гидростатического взыешивания. Проволока, на которой подвешивался образец, бралась толщиной в 0,08 мм. Тепловое расширение стекол не учитывалось из-за малого интервала температуры, при котором определялась плотность.

1. Двухкомпонентные фосфатные стекла

Составы исследованных двухкомпонентных фосфатных стекол, их показатели преломления п и плотности d при комнатной температуре, диэлектрическая проницаемость в при температуре кипения жидкого азота и частоте 10⁶ гд приводятся в таблице 1.

					620	1	Таблица І
Me cte- koл	Соста	вы в мол	°/0 (110	о синтезу)	n	d	г при f°= 10° гц
1 2 3 4 5 6 7 8 9 10	50 50 50 50 50 40 40 40 40 40 40	PbO, BaO, CaO, ZnO, MgO, PbO, BaO, CaO, ZnO, MgO, CaO,	50 50 50 50 50 60 60 60 60 60	P3Os P2Os P2Os P2Os P2Os P2Os P2Os P2Os P2	1,743 1,593 1,543 1,542 1,498 1,682 1,563 1,525 1,525 1,501 1,501	4,793 3,710 2,654 2,998 2,453 4,135 3,308 2,590 2,797 2,445 2,509	15,8 8,6 7,7 5,9 5,4

Из формулы молекулярной рефракции

$$\frac{M}{d} \cdot \frac{n^2 - 1}{n^2 + 2} = \frac{4\pi}{3} N\alpha_e,$$

где М — молекулярный вес, N — число Авогадро, α_e — поляризуемость электронного смещения "молекулы", можно получить равенство

$$n^a-1=\frac{4\pi\frac{\alpha_a}{v}}{1-\frac{4\pi}{3}\cdot\frac{\alpha_a}{v}}$$

откуда видно, что показатель преломления зависит от поляризуемости электронного смещения единицы объема вещества, т. е. от $\frac{\alpha_e}{V}$. Здесь V—объем, занимаемый "молекулой" стекла (слово "молекула" применяется условно, для обозначения совокупности частиц, соответствующих химической формуле стекла). В таблице 2 представлены вычисленные значения поляризуемости электронного смещения α_e , отношение $\frac{\alpha_e}{V}$, поляризуемости ионного смещения α_i и $\frac{\alpha_e + \alpha_i}{V}$. Поляризуе-

мость электронного смещения "молекулы" зависит от поляризуемости понов, входящих в состав стекла, что видно из сравнения данных этой таблицы с данными таблицы 3, в которой приводятся значения поляризуемостей электронного смещения различных нонов [11]. Из приведенных данных видно, что показатель преломления больше у тех стекол, в состав которых входят ноны, обладающие большим значением поляризуемости электронного смещения. Исключение составляют стекла, содержащие ноны цинка, возможно, из-за отличия электронной оболочки Zn электронных оболочек остальных двухвалентных нонов.

Таблица 2

№ стекол	10 ²⁴ · 2e c.u ³	10 · ze v	10 ²¹ ·21 c.u ³	$10 \cdot \frac{\alpha_{e} + \alpha_{l}}{v}$
1 2 3 4 5 6 7 8 9 10	6,109 5,349 4,600 4,640 4,316 6,371 5,704 5,047 5,089 4,842 5,560	0,965 0,806 0,750 0,750 0,700 0,902 0,780 0,730 9,725 0,701 0,727	6,42 5,92 5,51 4,51 4,43 6,40 5,10 4,69 5,30	1,98 1,70 1,65 1,48 1,41 ——————————————————————————————————
	Pb+	+ Ba++	Ca ⁺⁺ Zn	++ Mg++
1024.	2e c.u ³ 4,3	2 1,69	0,531 0,	114 0,114

С уменьшением концентрации двухвалентных ионов в стекле показатель преломления уменьшается, тогда как поляризуемость электронного смещения "молекулы" возрастает (см. табл. 1 и 2). Уменьшение показателя преломления происходит за счет уменьшения числа "молекул" в единице объема стекла или, иначе говоря, за счет возрастания объема, приходящегося на одну "молекулу". Объем, приходящийся на одну "молекулу" стекла может быть найден из выра-

жения
$$V = \frac{M}{d \cdot N}$$

Вычисления показывают, что "молекулы" двухкомпонентных фосфатных стекол, содержащих 50, 40 и 30 мол 0 / $_{0}$ СаО, занимают объмы, равные $61,2\cdot10^{-24}$, $68,8\cdot10^{-24}$ и $76,5\cdot10^{-24}$ см, соответственно. Поляризуемость электронного смещения возрастает с уменьшением концентрации металлических ионов в стекле, так как оно по своему составу приближается к чистому фосфатному стеклу, поляризуемость "молекулы" которого выше поляризуемости "молекулы" стекол, ис-

следованных составов. Для сравнения воспользовались данными Кордеса [2] по плотности и показателю преломления чистого фосфатного стекла и определили поляризуемость электронного смещения "молекулы" Р₅О₅ в стекле. Результаты этих вычислений приводятся в табл. 4.

Электрический момент единицы объема вещества зависит не только от поляризуемости каждой "молекулы", но и от числа таких "молекул" в единице объема вещества, т. е. будет определяться от-

				Таблица 4
	n	d	10 ²⁴ ze c.u ³	$10 \cdot \frac{z_e}{v}$
P ₅ O ₅	1,503	2,253	7,35	0,7

ношением — . Как видно из результатов вычислений, представленных

в таблице 2, отношение $\frac{a_e}{v}$ увеличивается с увеличением концентрации ионов в стекле.

Плотность стекол зависит от атомного веса ионов, входящих в состав стекла и увеличивается с увеличением концентрации двухвалентных ионов в стекле.

Для поляризаций электронного и ионного смещений стекол применимо уравнение Клазиуса-Мосотти.

$$\frac{M}{d} \cdot \frac{\varepsilon - 1}{\varepsilon + 2} = \frac{4\pi}{3} N(\alpha_e + \alpha_I),$$

где в — диэлектрическая проницаемость стекла в области низких температур, когда тепловой ионной поляризацией можно пренебречь, а₁ — поляризуемость ионного смещения "молекулы" стекла.

Так же, как и для п², можно получить равенство:

$$\epsilon-1 = \frac{4\pi}{2} \frac{\frac{\alpha_e + \alpha_l}{v}}{1 - \frac{4\pi}{3} \cdot \frac{\alpha_e + \alpha_l}{v}}.$$

Диэлектрическая проницаемость, обусловленная поляризацией смещения, зависит от суммы поляризуемостей электронного и ионного смещений "молекулы" и от числа таких "молекул" в единице объема стекла. Из таблицы 2 видно, что с уменьшением размеров понов, входящих в состав стекла, и уменьшается, что указывает на сильное закрепление ионов в стекле; диэлектрическая проницаемость стекол меняется так же, как $\frac{\alpha_e + \alpha_l}{v}$. Диэлектрическая проницаемость стекол в области высоких температур обусловливается, помимо рассмотренных видов поляризации, еще и тепловой ионной поляризацией, связанной с перебросами ионов в электрическом поле из одного положения равновесия в другое. С увеличением

температуры число перебрасываемых полем ионов в стекле при данной частоте внешнего электрического поля будет возрастать. Соответственно будет изменяться в стекол. На рисунке 1 представлены кривые температурной зависимости в стекол N_2N_2 1-5 при $f=10^3$ гд.

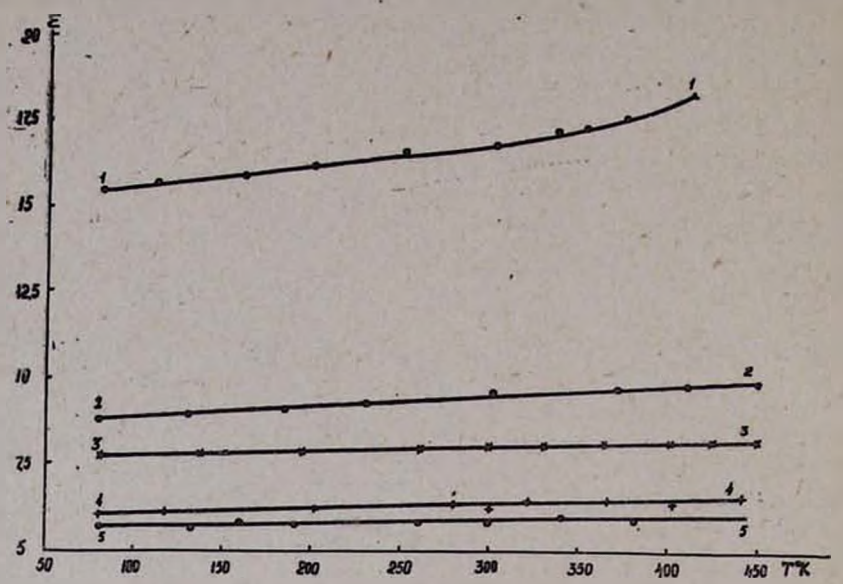


Рис. 1. Температурная зависимость є при f = 10³/24 ^c в стеклах: 1. № 1 (Pb), 2. № 2 (Ba), 3. № 3 (Ca), 4, № 4 (Zn), 5. № 5 (Mg).

Диэлектрическая проницаемость всех исследованных стекол линейно возрастает с температурой. Исключение составляет свинцово-фосфатное стекло, в которого в области высоких температур возрастает с температурой быстрее, чем это требовалось бы для линейной зависимости.

На рисунке 2 представлена зависимость Ід 7, где 7 — электропро-

Рис. 2. Зависимость 1g γ от 1/T для стекол: 1. № 1 (Pb), 2. № 2 (Ba). 3. № 3 (Ca), 4. № 4 (Zn). 5. № и (Mg).

водность стекол, от _ для стекол №№ 1-5. Свинцово-фосфатные

стекла обладают наибольшим значением электропроводности. Как видно из рисунка 3, где представлены кривые температурной зависимости и в стеклах №№ 1-5, потери в стекле, содержащем ионы свинца. больше и с температурой возрастают быстрее, чем потери в остальных стеклах. По данным электропроводности стекол и известному

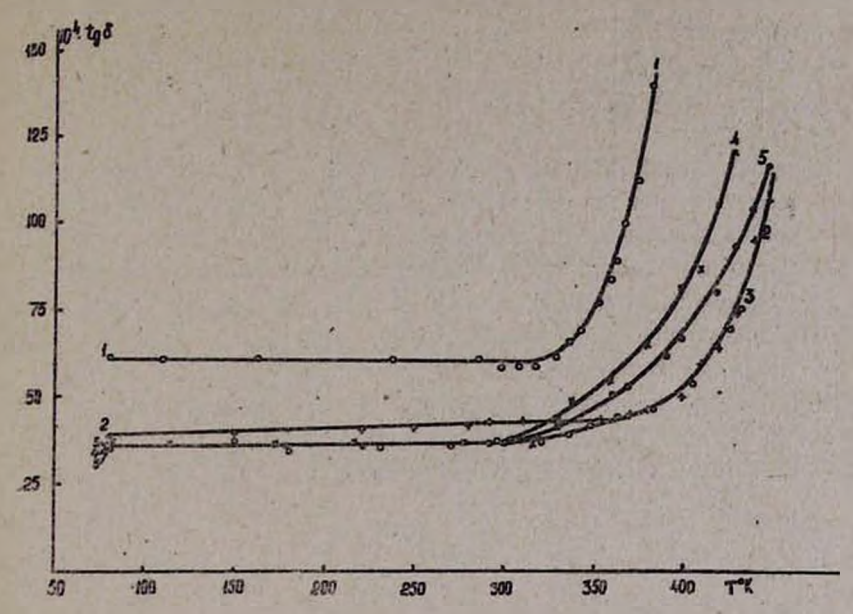


Рис. 3. Температурная зависимость tg в при f = 103 гц в стеклях: 1. № 1 (Pb), 2. № 2 (Ba), 3. № 3 (Ca), 4. № 4. (Zn), 5. № 5 (Mg).

значению а можно вычислить энергию активации ионов в стекле и и х собственную частоту колебания.

Действительно, если предположить, что $\gamma=\gamma_0 e^{-\frac{E}{kT}}$, то $E=\frac{k}{lge}\cdot\frac{lg\gamma_1-lg\gamma_2}{\frac{1}{L}-\frac{1}{L}},$

$$E = \frac{k}{lge} \cdot \frac{lg\gamma_1 - lg\gamma_2}{\frac{1}{T_2} - \frac{1}{T_1}}$$

где k — постоянная Больцмана, 71 и 72 — значения электропроводностей стекла при температуре T_1 и T_2^0 K.

Для вычисления собственной частоты колебания ионов воспользуемся тем, что упругая константа к, смещения ионов относительно своего положения равновесия связана с поляризуемостью ионного смещения соотношением $a_l = \frac{q^2}{k_1}$, где q - 3аряд иона. Но $v = \frac{1}{2\pi} \sqrt{\frac{k_1}{m}}$, где у — собственная частота колебания системы ионов Ме и кислорода, а $m = \frac{m_1 \cdot m_2}{m_1 + m_2}$ есть приведенная масса данной системы, где m_1

Известия, Х, № 5-2

и та₂ — масса каждого иона. Собственную частоту колебания металлических ионов мы найдем в предположении, что поляризуемость ионного смещения целиком обусловлена смещением ионов Ме⁺⁺относительно иона кислорода. Результаты вычислений приводятся в табл. 5.

							100		1777	Табли	
№ стекол	(Pb)	(Ba)	3 (Ca)	(Zn)	5 (Mg)	6 (Pb)	(Ba)	8 (Ca)	9 (Zn)	10 (Mg)	11 (Ca)
10-12. у сек-1 Е ккал/моль	3,3	4,0	5,1	5,1	6,4	-	4,3	5,7	_	7,2	6,9
Е ккал/моль	20	24,5	26,7	24,2	28		23,7	24,8	_	25,4	23,7

Из этой таблицы видно, что чем сильнее закреплен ион, тем больше его собственная частота колебаний; с увеличением концентрации ионов в стекле увеличивается их энергия активации, но уменьшается частота колебаний. Эти данные соответствуют друг другу, так как в одинаковых потенциальных ямах, форма и глубина которых определяется сортом ионов вводимых в стекло, с уменьшением высоты потенциального барьера собственная частота колебаний ионов действительно должна увеличиваться при одинаковых условиях.

На рисунке 4 представлена температурная зависимость $tg \delta$ в стеклах, содержащих 50 мол $^{0}/_{0}$ ВаО (кривая 1) и 40 мол $^{0}/_{0}$ ВаО (кри-

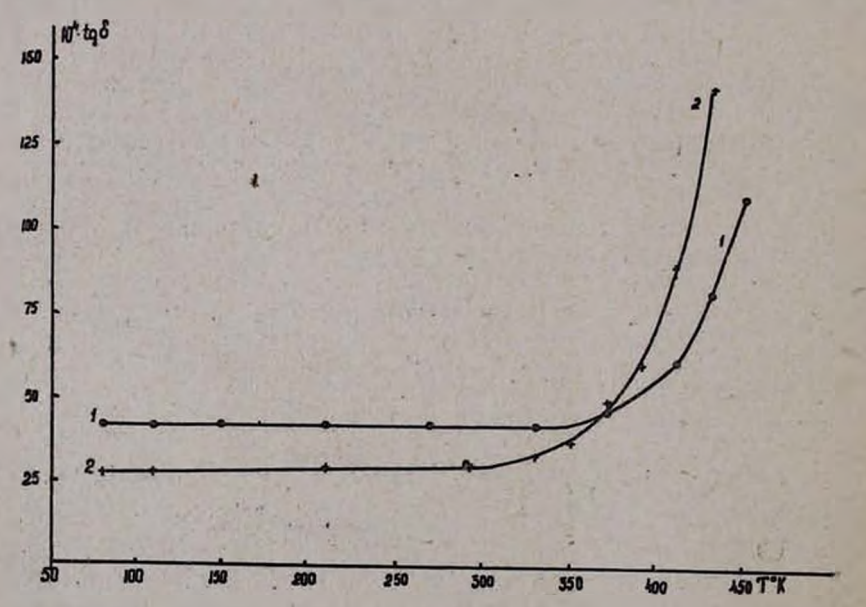


Рис. 4. Температурная зависимость 1g δ при $f=10^9$ гд в стеклах, содержащих: 1. 50 мол $^{\rm 0}/_{\rm 0}$ BaO и 2. 40 мол $^{\rm 0}/_{\rm 0}$ BaO.

вая 2) при $f=10^3$ ги. Так же, как и для стекол $N \sim N \sim 1-5$ (рис. 3), на кривой температурной зависимости $f \sim 1-5$ (рис. 3), кач область температур, в которой угол диэлектрических потерь не за-

висит от температуры. В области высоких температур диэлектрические потери тем больше, чем меньше концентрация металлических ионов в стекле. Аналогичная картина получена при исследовании этих двух стекол при частоте $f=3\cdot 10^3$ гц.

Потери в области высоких температур и относительно низких частот обусловливаются электрической проводимостью стекла. Измерение электропроводности, как видно из рисунка 5, где представлена

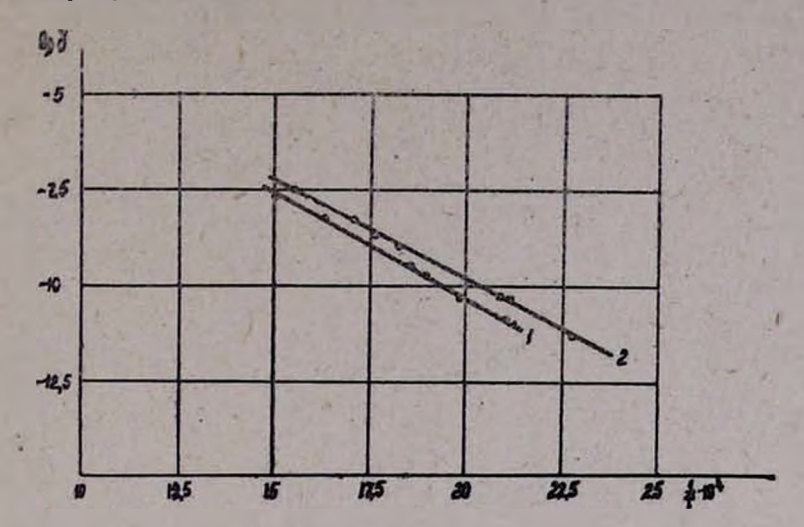


Рис. 5. Зависимость $\lg \gamma$ от $\frac{1}{T}$ для стекол, содержащих: 1. 50 мол $^{\rm o}/_{\rm o}$ BaO и 2. 40 мол $^{\rm o}/_{\rm o}$ BaO.

зависимость $\lg \gamma$ от $\frac{1}{T}$ для двух указанных стекол показало, что проводимость стекла увеличивается с уменьшением концентрации ионов в стекле. Энергия активации при этом уменьшается (см. табл. 5).

Измерение температурной зависимости электропроводности стекол, содержащих 50 и 40°/₀ MgO и стекол, содержащих 50, 40 и 30°/₀ СаО, дали аналогичные результаты.

На рисунке 6 представлены кривые температурной зависимости $tg \circ B$ стеклах, содержащих 50 и $40^{\circ}/_{\circ}$ ВаО. Потери при $t=10^{6}$ ги и высоких температурах связаны с релаксационным движением ионов—модификаторов в стекле. Как видно из рисунка 6, потери при $t=10^{6}$ ги увеличиваются с увеличением содержания ВаО в стекле. Такие же результаты для релаксационных потерь получены в стеклах, содержащих 50 и $40^{\circ}/_{\circ}$ MgO.

Таким образом, исследование электрических свойств двухкомпонентных фосфатных стекол показало, что введение двухвалентных металлических ионов уменьшает потери проводимости и электропроводность, в то время как в аналогичных силикатных стеклах влияние

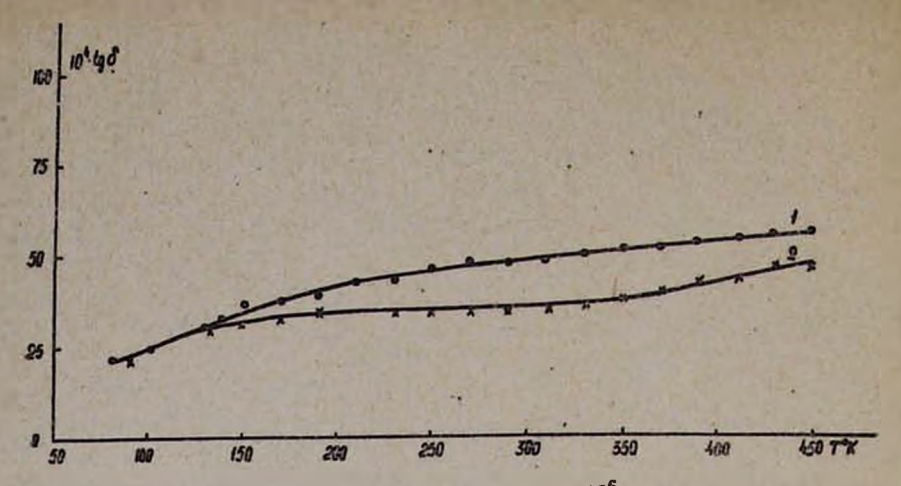


Рис. 6. Температурная зависимость $\lg 3$ при $f=10^6$ ги в стеклах, содержащих: 1. 50 мол $^0/_0$ BaO и 40 мол $^0/_0$ BaO.

двухвалентных металлических ионов обратное. Этот результат можно использовать для выявления некоторых особенностей строений фосфатвых стекол.

2. Алюмофосфатные стекла

Состав исследованных алюмофосфатных стекол, их показатели преломления, плотности при комнатной температуре, диэлектрические проницаемости при температуре кипения жидкого азота и частоте 10^6 г.и, вычисленные значения поляризуемостей электронного и ионного смещений "молекулы" в стекле, их отношения к объему "молекулы", собственная частота колебаний и энергия активации ионов в стекле представлены в таблице 6.

Показатель преломления п в щелочных стеклах уменьшается при замещении иона лития на ион натрия и калия, но поляризуемость электронного смещения "молекулы" стекла α_e при этом возрастает. Так как ион лития мал по своим размерам, то "молекула" литиевых алюмофосфатных стекол занимает меньший объем. Объемы "молекул" стекол, содержащих ионы лития (N12), натрия (N13) и калия (N14) соответственно равны $71.7 \cdot 10^{-24}$, $75.2 \cdot 10^{-24}$ и $82.2 \cdot 10^{-24}$ см³. Поэтому индуцированная поляризация электронного смещения единицы объема стекла, зависящая от $\frac{\alpha_e}{V}$, в литиевых стеклах будет наибольшая.

Диэлектрическая проницаемость (ϵ) натриевых стекол больше диэлектрической проницаемости калиевых алюмофосфатных стекол. Это происходит за счет того, что поляризуемости электронного и ионного смещений единицы объема натриевых стекол $\left(\frac{\alpha_e + \alpha_l}{v}\right)$ больше поля-

№ стекол	Состав в молях (по синтезу)	n	d
12	1 Li ₂ O 0,5 Al ₂ O ₂ . 2,5 P ₂ O ₃	1,523	2,520
13	1 Na ₂ O 0,5 Al ₂ O ₃ . 2,5 P ₂ O ₅	1,510	2,578
14	1 K ₂ O 0,5 Al ₂ O ₃ . 2,5 P ₂ O ₅	1,504	2,531
15	I PbO 0,5 Al ₂ O ₃ .2,5 P ₂ O ₆	1,619	3,551
16	1 BaO 0,5 Al ₂ O ₃ . 2,5 P ₂ O ₆	1,547	3,001
17	1 CaO 0,5 AlaOa. 2,5 PaOa	1,522	2,542
18	1 ZnO 0,5 Al ₂ O ₈ . 2,5 P ₂ O ₈	1,520	2,671
19	1 MgO 0,5 Al ₂ O ₂ . 2,5 P ₂ O ₈	1,501	2,453
20	0,5 Na ₂ O 0,75 Al ₂ O ₃ . 2,25 P ₁ O ₅	1,516	2,557
21	0,5 K ₂ O 0,75 Al ₂ O ₃ . 2,25 P ₂ O ₅	1,516	2,573

в при f=10 ⁵ гц	10 ²⁴ · zc c.u. ³		$\frac{x_0+x_1}{v}$	10 ² · 2 CM ²	10 ⁻¹² ., сек ⁻¹	Е ккал/моль
5,5	5,20	0,725	1,43	5,05	7,2	19
7,2	5,34	0,710	1,60	6,70	6,2	19
6,1	5,80	0,705	1,50	6,45	5,8	20
7,8	6,11	0,835	1,65	6,00	7,4	28,2
7,5	5,90	0,755	1,62	6,76	7,0	24,8
5,2	5,50	0,725	1,39	5,05	9,0	25,8
5,1	5,46	0,720	1,37	4,95	8,8	24,2
5,0	5,27	0,700	1,36	4,97	10,0	24,6
6,8	5,68	0,720	1,56	6,60	7,8	19,6
5,5	5,87	0,720	1,43	5,80	7,8	24,3

ризуемостей электронного и ионного смещений единицы объема калиевых стекол.

Из таблицы 6 видно, что ионы калия сильнее закреплены (в стеклах №№ 14 и 21), чем ионы натрия (в стеклах №№ 13 и 20), и ионы лития (в стекле № 12). Сильное закрепление иона калия по сравнению с остальными щелочными ионами в стекле приводит к уменьшению электропроводности стекла. На рисунке 7 показана зависимость $\lg \gamma$ от $\frac{1}{T}$ для стекол №№ 12—19. Электропроводность литиевых и натриевых стекол одинакова во всей области исследования температуры.

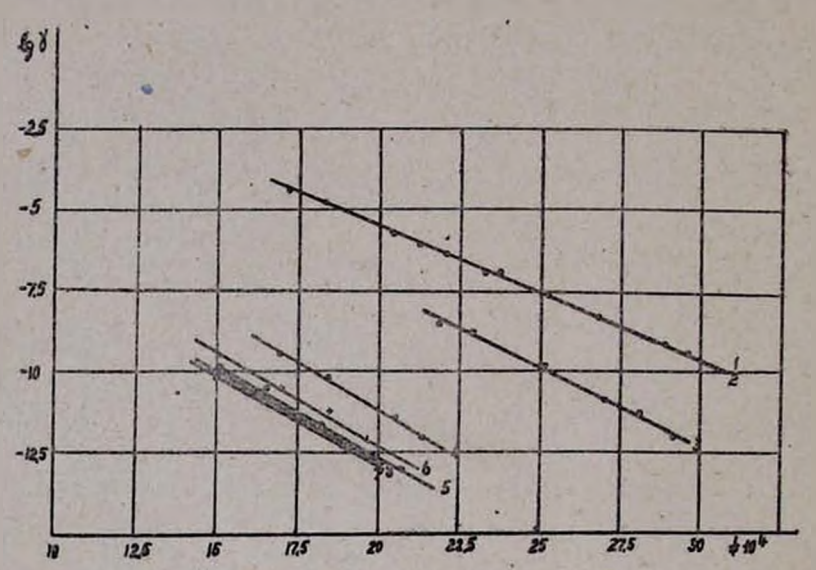


Рис. 7. Зависимость 1g γ от $\frac{1}{T}$ для стекол составов: 1. № 12 (Li), 2. № 13 (Na), 3. № 14 (K), 4. № 15 (Pb), 5. № 16 (Ba). 6. № 17 (Ca), 7. № 18 (Zn), 8. № 19 (Mg).

Из стекол, содержащих двухвалентные ионы, электропроводность свинцовых стекол наибольшая, хотя и энергия активации свинцовых стекол обладает наибольшим значением (см. табл. 6). Вероятно, число частиц, переносящих электрический заряд в свинцово-алюмофосфатных стеклах больше, чем в других стеклах. Увеличенное значение энергии активации ионов свинца приводит к тому, что релаксационные диэлектрические потери в свинцовых стеклах, как это видно из рисунка 8, на котором представлены кривые зависимостей tg при f=10⁶ гµ от Т° К в стеклах №№ 15—19, не превосходят потери в остальных стеклах (см. рис. 3).

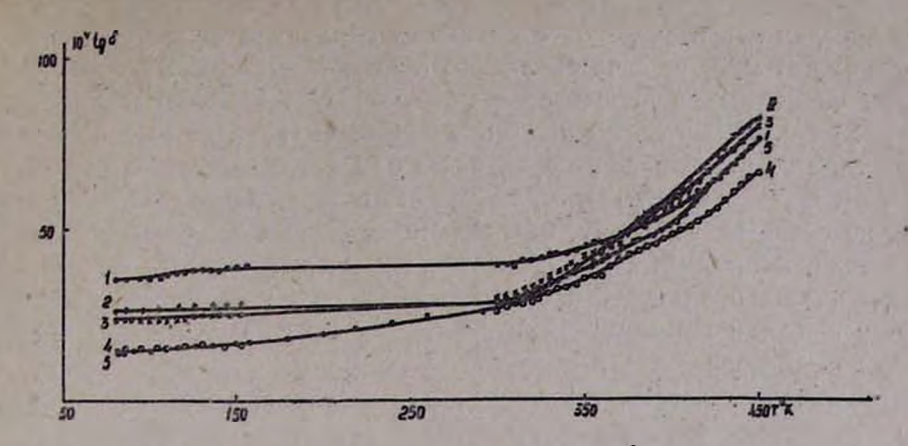


Рис. 8. Температурная зависимость lg д при f = 10⁶ гц в стеклах составов: 1, № 15 (Pb), 2. № 16 (Ba), 3. № 17 (Ca), 4. № 18 (Zn), 5. № 19 (Mg).

Обсуждение результатов

В неорганических стеклах наблюдаются в основном три вида диэлектрической поляризации [13]: электронного и ионного смещений и тепловой ионной поляризации.

1) Поляризация электронного смещения, как видно из таблиц 2 и 3, зависит от поляризуемостей ионов, входящих в состав стекла. Однако такая связь является чисто качественной, так как следует учесть, что поляризуемость электронного смещения ионов в свободном состоянии и в стекле будут различными. Последнюю можно вычислить, зная ионную рефракцию каждого иона. В частности, для ионов Pb, О и P можно найти поляризуемости ае из данных Кордеса, приведенных в работе [14]. Они оказываются равными 3,62 · 10 -24 $1,47 \cdot 10^{-24}$ и $0,028 \cdot 10^{-24}$ см³. При этом поляризуемости атомов кислорода, соединяющихся с двумя атомами фосфора, и атомов кислорода, соединяющихся одной связью с атомом фосфора, а другой связью с Ме, одинаковы. Исходя из этих данных мы можем вычислить поляризуемости электронного смещения "молекул" стекол, содержащих 50 н 40 мол ⁰/₀ PbO (№№ 1 и 6). Вычисленные значения а_е соответственно равны $6,2\cdot 10^{-24}$ и $6,48\cdot 10^{-24}$ см³, что совпадает с данными для αс, представленными в таблице 2 для стекол №№ 1 и 6. Некоторые отступления от наших данных объясняются погрешностями в измерениях и вычислениях. Электронные поляризуемости РьО и Р₂О₅, вычисленные таким же образом, соответственно равны и $7,41\cdot 10^{-24}c \varkappa^3$. Это объясняет тот факт, что с увеличением концентрации металлических ионов в стекле поляризуемость электронного смещения "молекулы" уменьшается (см. табл. 2).

Таким образом, использование данных поляризуемости электронного смещения для свободных ионов при вычислении а "молекулы" стекла может привести к результатам, не соответствующим опыту;

поляризуемость электронного смещения "молекулы" чистого фосфатного стекла P_2O_3 больше α_c любого окисла MeO; поэтому с увеличением концентрации MeO в стекла a_c "молекулы" уменьшается.

2) Поляризуемости ионного смещения 21 "молекулы в основном зависят от размеров ионов, входящих в состав стекла, (см. табл. 2 и 6). Однако могут быть и некоторые отступления от этого правила, которые, по-видимому, объясняются степенью закрепления ионов в стекле. В щелочных алюмосфосфатных стеклах (№№ 13, 14 и 21, 22) ионы натрия обладают большим значением поляризуемости ионного смещения, чем ионы калия, хотя размеры нона калия больше размеров иона натрия.

В литературе [12, 16] уже указывалось на возможность вычисления α_1 в стеклах, но до настоящего времени поляризуемость ионного смещения в стеклах остается мало изученной, почему и надо полагать, что данные по поляризуемости ионного смещения, приведенные в на-

стоящей работе, будут представлять определенный интерес.

3) Тепловая ионная поляризация устанавливается в стекле медленнее, чем предыдущие два вида поляризации. Она связана с перераспределением добавочных ионов в стекле в электрическом поле, с перебросами ионов из одного положения равновесия в другое.

Возрастание диэлектрической проницаемости с температурой (рис. 1) показывает, что в электрическом поле число релаксирующих частиц возрастает. Отсутствие релаксационных максимумов на кривых температурной зависимости тра (см. рис. 6, 8) объясняется тем, что подвижные ионы в стекле преодолевают при перебросах из одного положения равновесия в другое потенциальный барьер различной высоты. Иначе говоря, для ионов в стекле существует целый набор энергий активации и времен релаксации [12, 15]. Поэтому можно ожидать, что с увеличением температуры число релаксирующих частиц в стекле будет возрастать, что скажется на величинах диэлектрической проницаемости и диэлектрических потерь.

Обращаясь теперь к вопросу о диэлектрических потерях в стеклах, мы видим, что в области высоких температур и частоте 10^3 ги (рис. 3 и 4) преобладающим видом потерь являются потери проводимости. Изменение 10^3 с температурой при 10^3 ги в исследованных стеклах в температурной области выше 370° К происходит по экспоненциальному закону.

Независимость диэлектрических потерь от температуры в области низких температур наблюдалась и в других стеклах [16, 17]. Природа потерь в этой области температур пока не ясна. Она связывается с особенностями структуры стеклообразного состояния, а потери в этой области температур называются структурными [12].

Таким образом, на основании исследования электрических свойств фосфатных стекол можно сделать некоторые выводы о структуре

стекла.

В работе [18] исследована температурная зависимость электропроводности двухкомпонентных свинцово-силикатных стекол. При сравнении электропроводностей в стеклах составов 50 мол % PbO. 50 мол % SiO₂ и 50 мол % PbO, 50 мол % P₂O₃ можно обнаружить, что электропроводность в фосфатных стеклах больше электропроводности в соответствующих силикатных стеклах.

Увеличение электропроводности может произойти за счет увеличения числа носителей зарядов и уменьшения энергии активации. Оба эти фактора связаны с рыхлостью структуры фосфатных стекол. Энергия активации, подсчитанная по формуле, приведенной в настоящей работе, для свинцово-силикатного стекла по данным Евстропьева [18] равна 27,7 ккал/моль, что превосходит энергию активации свинца в фосфатных стеклах (см. стекло № 1, табл. 5).

В двухкомпонентных фосфатных стеклах диэлектрические потери и электропроводность уменьшаются с возрастанием концентрации металлических ионов в стекле, что указывает на общее укрепление структуры стекла.

Возможно, что с увеличением концентрации двухвалентных металлических ионов в фосфатных стеклах, как полагает Кордес, некоторые из них могут входить в структурную сетку стекла. Так как структурная сетка чистого фосфатного стекла разрыхлена, то каждый [РО₄] тетраэдр увеличивает степень деполимеризации сетки. С увеличением концентрации двухвалентных ионов, которые сильнее закреплены, чем щелочные ионы, уменьшается число "пор" или свободных мест в стекле, которые могли быть занятыми этими ионами. Если в плотно упакованной структурной сетке силикатного стекла введение щелочно-земельных ионов вводит определенные искажения, то структурная сетка фосфатного стекла при этом оказывается более уплотненной. Этим, по-видимому, объясняется уменьшение электропроводности и диэлектрических потерь проводимости с увеличением концентрации двухвалентных нонов в стекле.

Заключение

Исследована температурная зависимость электропроводности, диэлектрической проницаемости и диэлектрических потерь в стеклах состава х $MeO \cdot yP_2O_5$ и х $MeO \cdot yAl_2O_3 \cdot zP_2O_5$, где Me=Pb, Ba, Ca, Zn, Mg, и х $Me_2O \cdot yAl_2O_3 \cdot zP_2O_5$, где Me=Ll, Na, K.

Показано, что угол диэлектрических потерь в двухкомпонентных стеклах при частоте 10³ г в широкой области температур не зависит от температуры, а в области высоких температур уменьшается с увеличением х, что объясняется общим укреплением структуры (полимеризацией сетки) фосфатных стекол с увеличением концентрации двухвалентных ионов.

Из двухвалентных ионов ноны свинца вызывают наибольшие потери в фосфатных стеклах. Последние обладают наибольшим значе-

нием электропроводности по сравнению с электропроводностью других стекол.

В алюмофосфатных стеклах поны свинца закреплены сильнее остальных двухвалетных ионов, что приводит к уменьшению релаксационных диэлектрических потерь в таких стеклах.

Определены показатели преломления и плотности стекол тех же составов при комнатной температуре, подсчитаны поляризуемости ионного смещения, энергии активации и собственная частота колебаний нонов в фосфатных стеклах.

Изменение показателя преломления стекол, содержащих различные ионы, зависит от способности к поляризации единицы объема стекла.

Показатель преломления щелочных алюмофосфатных стекол при замещении иона лития на нон натрия, а затем на нон калия уменьшается, однако поляризуемость электронного смещения "молекул", т. е. группы частиц, соответствующей химической формуле стекла, при этом возрастает.

Армянский педагогический институт им. Х. Абовяна Институт химии силикатов АН СССР

Поступило 27 V 1957

վ. Պ. Պետրոսյան

ՖՈՍՖԱՏԱՅԻՆ ԱՊԱԿԻՆԵՐԻ ԷԼԵԿՏՐԱԿԱՆ ՀԱՑԿՈՒԹՅՈՒՆՆԵՐԸ

игфпфпьг

Մինչդեռ սիլիկատային և բորային ապակիների էլեկտրական հատկու-Թյունների ուսուննասիրությանը շատ աշխատանքներ են նվիրված, ֆոսֆատային ապակիների էլեկտրական հատկությունները քիչ են ուսուննասիրվել։

ներկա հոդվածով փորձ է արվում ֆոսֆատալին և ալլումաֆոսֆատա
լին ապակիների էլեկտրական հատկությունները սիստեմատիկ կերպով հետա
գոտակուն իջոցով ուսուննասիրել էլեկտրական դաշտում ապակու մեջ կատար
կող պրոցեսների թնուլթը։ Ուսուննասիրված է հիշատակված ապակիներում

Լլեկտրահաղորդչության, դիէլեկտրական թափանցելիության և դիէլեկտրական

կորուստների ջերմաստիճանալին կախումը՝ ցույց է տրված, որ երկկոմպոնենտ

ապակիներում 10³ հերց հաճակականության դեպքում դիէլեկտրական կորուստ
ների անկլունը ջերմաստիճանալին լայն մարզում կախված չէ ջերմաստիճա
նից, իսկ բարձր ջերմաստիճանալին լայն մարզում կախված չէ ջերմաստիճա
նից, իսկ բարձր ջերմաստիճանալին լայն մարզում նվազում է ապակու կազմի մեջ

հից, իսկ բարձր ջերմաստիճանների մարզում նվազում է ապակու կազմի մեջ

հից, իսկ բարձր ջերմաստիճանների մարզում նվազում է ապակու կազմի մեջ

հից, իսկ բարձր չերմաստիճանալին լայն մարզում կախված չէ ջերմաստիճա
նից, իսկ բարձր չերմաստիճանալին լայն մարզում կախված չէ ջերմաստիճա
նից, իսկ բարձր չերմաստիճանալին կախումը կախված չէ ջերմաստիճա
նից, իսկ բարձր չերմաստիճանալու

հիտ ապակիների կարական չեր ջերմաստիճա
նից, իսկ բարձրան և դիէլակարական

հրա ապակիների կարանատիլին և ալիանատիլին

հատարում իրա ապակիների արացմամե (ցանցի պոլիմերա
ցումով)։

Երկվալևնտ իոնհրից կապարի իոնհրն աժևնից ավևլի ժեծ կորուստներ ևն առաջացնում ֆոսֆատալին ապակինևրում։ Վերջիննևրս, համեմատած, այլ ասակիների հետ, ունեն էլեկտրահադորդչության աժենամեծ նշանակությունը։ Ալլումաֆոոֆատալին ապակիններում կապարի իոնները մլուս նրկվալենա իոննրից ավելի ուժեղ են ամրացած, որը բնրում է ալդպիսի ապակիների մեջ րելակուսցիոն դիէլնկարական կորուսաների նվազման։

Որոշված են սենլակի ջերմաստիճանում նուլն ապակիների բեկման ցուսիչները և խաութքլունները, հաշված են ֆոսֆատալին ապակիներում իոնական տեղաշարժի բևևոացվելիութքլունները, ակտիվացման Էնևրդիաները և իոների տատանունների սեփական հաճախականութքլունը։

Հանադան իոնևը պարունակող ապակինևրի բևկման ցուցիչի փոփոխվելը կախված է ապակու ծավալի մեկ միավորի բևևռաչնանալու ընդունակությունից։

հրթումորույթնությու դունանիը բափադատասիություն է «դանրիսրիայի իրդևի»՝ բնրիահաջունիչը որժաջությեր որովանը ևչահույիչը դրգաթուղ է «դանրիսրիայի իրդևի» անակու քիդիավար ֆանլինիայացումի իսչը չապահատարիսություն ապաս կանիսումի իսչում արևակու արևաչունգի լինիայունի իսչու դրգարանում է «դանրիվորիսի իրդևի»՝ բնրիահաջունին արմածաև է հանրական անաարարարանում է ապաս կանիսումի իսչում արևակունին արմածական և լինիայությունը որությունը

ЛИТЕРАТУРА

- 1. В. А. Колесова, Онтика и спектроскопия, 2, 165 (1957).
- 2. E. Kordes, W. Vogel, R. Feterowsky, Z. f. Elektrochemie, 54, 4, 232 (1953).
- 3. J. E. Stanworth, J. Soc. of Glass Techn., 32, 146, 154 (1948).
- 4. H. F. Huettenlocher, Z. f. Krist., 90, 6, 508 (1935).
- 5. N. I. Kreidl, W. A. Weyl, J. Am. Cer. Soc., 24, 11, 372 (1941).
- 6. L. Navias, R. Green, J. Am. Cer. Soc., 29, 10, 267 (1946).
- 7. J. M. Stevels, J. Soc. of Glass Techn., 34, 158, 80 (1950).
- 8. I. Volger, J. M. Stevels, Philips Res. Rep., 11, 6, 452 (1956).
- 9. В. А. Иоффе, ЖТФ, 24, 4, 611 (1954).
- 10. В. А. Иоффе. ЖТФ, 26, 3, 516 (1956).
- 11. И. Обрешмов, Труды ГОИ, 1, 3 (1919).
- 12. Г. И. Сканави. Физика дивлектриков, ГИГТЛ, Москва-Ленинград, 1949 г.
- 13. Г. И. Сканави, ЖТФ, 9, 7, 612 (1939).
- 14. J. E. Stanworth, Physical Properties of Glass, Oxford, 1950.
- 15. С. М. Брагин, А. Ф. Вальтер и Н. Н. Семенов, Теория и практика пробоя, ГИЗ Москва—Ленинград, 1929 г.
- 16. Г. И. Сканави, Диэлектрическая поляризация и потери в стеклах и керамических материалах с высокой диэлектрической пропицаемостью, Госэнергоиздат, Москва, 1952 г.
- 17. Г. И. Сканови, ЖТФ, 7, 10, 1039 (1937).
- 18. К. С. Евстоопьев, А. Я. Кузнецов, И. Г. Мельников, ЖТФ, 21, 1, 104 (1951).

ИЗВЕСТИЯ АКАДЕМИИ НАУК АРМЯНСКОЯ ССР

Քիմիական գիտ, սերիա

X, № 5. 1957

Серия химических наук

А. А. Алчуджан и Е. Т. Кристостурян

Изучение смешанных Pd-Ag, Pd-Cu и Pd-Au катализаторов при гидрировании бензола

Сообщение II. Изучение смешанных Pd-Си катализаторов

В предыдущей статье [1] нами были приведены результаты изучения смешанных палладий-серебряных катализаторов при гидрировании бензола. Было установлено, что по мере увеличения содержания серебра в палладий-серебряных катализаторах активность их уменьшается и при содержании 65—70 атомных процентов серебря в твердых растворах практически достигает нуля. Подтвердилось предположение о том, что по мере увеличения серебра в твердых растворах Рсі—Ад, параллельно с уменьшением магнитной восприимчивости, должна уменьшаться также каталитическая активность этих систем, что связывается с заполнением свободных электронных уровней палладия электронами серебра [2].

Медь, подобно серебру, также уменьшает магнитную восприимчивость палладия, который, при определенном содержании меди, становится даже диамагнитным [3, 4]. Поэтому интересно было изучить также влияние меди на каталитическую активность палладия при гидрпровании бензола.

Ниже излагаются результаты этого изучения.

Экспериментальная часть

Палладий-медные катализаторы изучались на примере гидрирования бензола. Активность катализаторов изучалась струйным методом. Метод анализа продуктов реакции и аппаратура описаны в предыдущей работе [1].

Смещанные палладий-медные катализаторы готовились из раствора нитратов меди и палладия. Раствор нитрата меди был приготовлен из чистой электролитической меди (Кальбаум) и специально очищенной азотной кислоты. Титр раствора был равен в расчете на медь 0,008009 г/мл. Раствор нитрата палладия готовился аналогичным образом. Титр применявшегося раствора был равен в расчете на палладий 0,006524 г/мл.

Для приготовления смешанных палладий-медных катализаторов предварительно готовилась смесь из растворов с определенным соотношением палладия к меди. Затем соответствующие ионы металлов совместно восстанавливались формалином в сильно щелочной среде

при температуре 60—65°С. Осадок многократно промывался декантированием, затем переносился на стеклянный фильтр, где оканчивались промывание и фильтрование. Таким путем полученный смешанный катализатор высушивался в сущильном шкафу при 80° до постоянного веса. Палладий—медные катализаторы различного состава готовились при одних и тех же условиях.

Для изучения активности всегда применялись такие количества катализаторов, чтобы в них содержание палладия равнялось 0,35 г. Скорость подачи водорода равнялась 0,75 л/ч при соотношении водо-

рода к бензолу 4:1, температура гидрирования 186°.

Были приготовлены и изучены три образца Pd—Cu катализаторов, содержащие: катализатор № 1—22,8 ат % палладия и 77,7 ат % меди; катализатор № 2—36,8 ат % Pd и 63,2 ат % Cu и катализатор № 3—59,3 ат % Pd и 40,7 ат % Cu.

Экспериментальные результаты и их обсуждение

Прежде чем изучать смешанные палладий-медные катализаторы, была испытана каталитическая активность чистой меди* при гидрировании бензола. В литературе имеются указания на каталитическую активность чистой меди [5], а также обратное—неактивность меди при гидрировании бензола [6, 7].

Испытание приготовленного нами чистого медного катализатора при гидрировании бензола показало, что медь не обладает каталитической активностью для этого процесса.

Результаты изучения смешанного Pd—Cu катализатора № 1

Результаты изучения этого катализатора при гидрировании бензола приведены в виде кривых на рисунке 1. Кривая I показывает

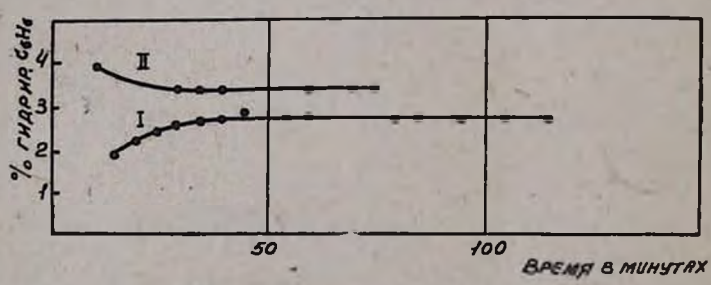


Рис. 1. Результаты изучения катализатора № 1, содержащего 22,3 ат⁰/₀ Pd и 77,7 ат ⁰/₀ Cu.

изменение процента гидрирования бензола (активности катализатора) со временем на свежеприготовленном образце Pd—Cu катализатора № 1.

[•] Медный катализатор готовили из тех же реактивов принятым нами методом

Как видно из этой кривой, катализатор с солержанием 22,3 ат % Рd и 77,7 ат % Сu практически не проявляет каталитической активности при гидрировании бензола.

Кривая II на рисунке 1, полученная после трехсуточной выдержки того же катализатора в атмосфере водорода при комнатной температуре показывает, что при этом активность катализатора несколько возрастает.

Рентгенографическое изучение этого образца катализатора показало, что он состоит из трех фаз: а) твердого раствора палладия в меди с $a=3,67\pm0,004$ Кх. соответствующего содержанию 24 ат $^{0}/_{0}$ Pd и 76 ат $^{0}/_{0}$ Cu; б) меди, в которой может быть растворено 1,5 ат $^{0}/_{0}$ Pd с $a=3,611\pm0,05$ Кх (постоянная решетка меди a=3,607 Кх); в) на рентгенограмме обнаруживается несколько довольно сильных по интенсивности линий, которые не идентифицированы.

Как видно из рентгенографических данных, этот катализатор является довольно сложной системой. Обе идентифицированные фазы твердых растворов Pd—Си содержат мало палладия. При определенном содержании меди в палладии также, как это было наблюдено и в случае твердых растворов Pd—Ag [1], параллельно с исчезновением парамагнетизма активность такого катализатора практически исчезает. Таким образом, серебро и медь одинаково влияют на активность (и парамагнетизм) палладиевого катализатора.

Небольшая активность данного катализатора возможно связана с наличием незначительного количества свободного палладия (который рентгенографически не обнаружен) или третьей неидентифицированной фазой, которая, возможно, является богатым палладием твердым раствором меди в палладии.

Результаты изучения смешанного Рd—Си катализатора № 2

На рисунке 2 приведены результаты изучения катализатора № 2. Кривая I на рисунке 2 показывает изменение активности свежеприготовленного катализатора № 2 со временем. Характер этой кривой аналогичен кривой I на рисунке 1, выражающей активность катализатора № 1. Активность катализатора № 2 несколько выше, чем активность катализатора № 1, содержащего меньше палладия (22,3 ат °/о Pd). На данном катализаторе была изучена зависимость активности его от температуры в интервале от 250 до 180°. Как видно из рисунка 3, максимальную активность данный катализатор проявляет при температуре около 230°. Затем этот катализатор в продолжении 48 часов выдерживался в атмосфере водорода при комнатной температуре. Результаты испытания активности выражены кривой II на рисунке 2. Как было замечено и в случае катализатора № 1; подобная выдержка в атмосфере водорода при комнатной температуре несколько повышает активность Pd-Си катализатора (сравни кривые I и II на рисунке 2), тогда как в случае Pd-Ag катализаторов при анало-

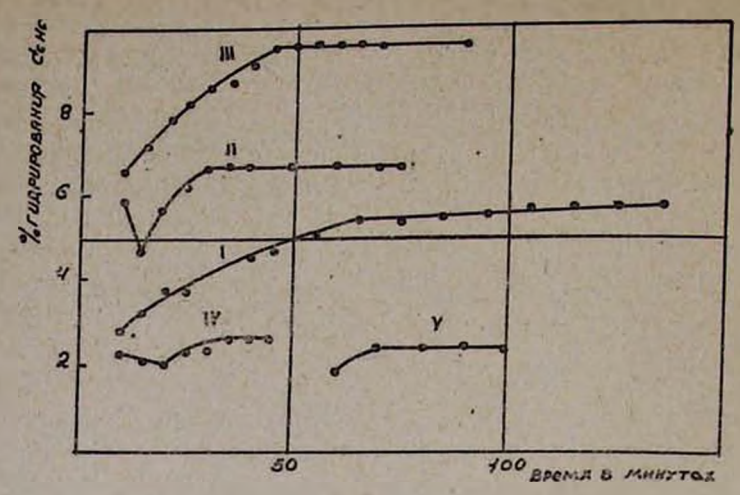


Рис. 2. Результаты изучения катализатора $N\!\!\!\! = 2$, содержащего 36,8 ат $^{9}/_{0}$ Рd и 63,2 ат $^{9}/_{0}$ Сu .

тичной обработке активность несколько понижалась, что мы связывали с отравляющим действием водорода [1]. Замеченняя активация

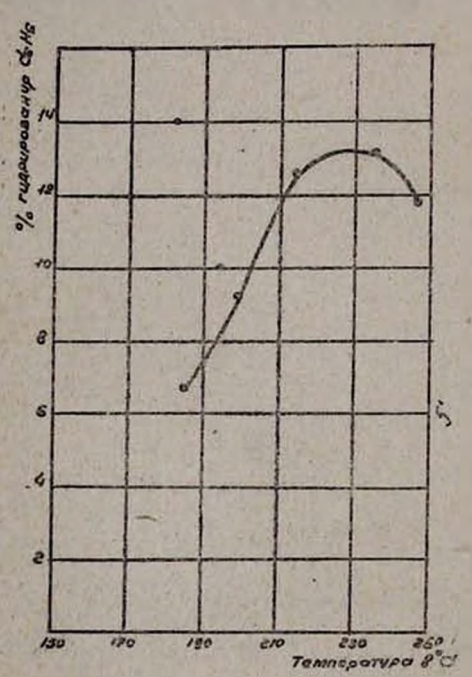


Рис. 3. Кривал зависимости активности от температуры палладий-медного катализатора № 2 (63,2 ат °/о Сu).

Pd—Си катализатора B сфере водорода, возможно, связана с удалением с поверхности катализатора адсорбированных продуктов реакции. Однако это явление требует специального изучения, что и намечается сделать в дальнейшем. Далее этот катализатор обрабатывался в течение одного часа в струе воздуха при 186°. В результате активность катализатора заметно повысилась (кривая III на рис. 2). Последующая выдержка этого катализатора в струе водорода при 330° привела к резкому понижению активности кривую IV на рис. 2). Дезактивированный таким путем катализатор затем находился в атмосфере водорода при натной температуре в продолжении шести суток. Как вид-

но из кривой V на рисунке 2, заметного изменения активности

при этом не наблюдается. Обработка воздухом и выдержка при высокой температуре в струе водорода на эти Pd—Cu катализаторы влияют таким же образом как и на Pd—Ag катализаторы [1].

Результаты изучения смешанного Рd—Си катализатора № 3

Результаты изучения свежеприготовленного образца этого катапизатора при гидрировании бензола приводятся в виде кривой і на рисунке 4. На том же рисунке для сравнения приведены активности

катализаторов 2 и 1 (кривые II и III соответственно).

Как видно из этих данных, характер изменения активности катализатора № 3 со временем не отличается от карактера изменения активности предыдущих катализаторов, содержащих меньше палладия.

Рентгенографическое изучение образца катализатора № 3 показало, что он состоит практически из одной кубической фазы с а = 3,853 Кх, что соответствует 89 ат % палладия, в то время как по способу приготовления катализатор должен содержать 59,3 ат % Рd. Специальным химическим анализом установлено, что катализатор, как и следовало из способа приготовле-

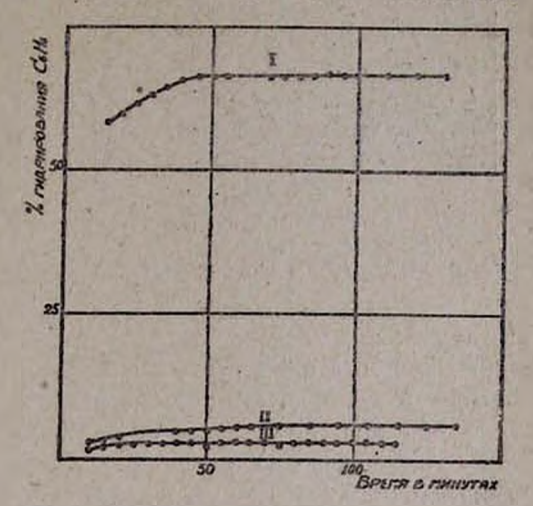


Рис. 4. Кривые активности Рd—Си катализаторов, содержащих: 1. 59,3 ат ⁰/₀ Рd (катализатор № 3); 11. 36 8 ат ⁰/₀ Рd (катализатор № 2); 111. 22,3 ат ⁰/₀ Рd (катализатор № 1). Условия опытов: т. 186°, скорость подачи водорсда 0,75л/ч, содержание Рd в катализаторах 0,35 z.

ния, действительно содержит 59,3 ат % Рd и 40,7 ат % Сu. Причина расхождения данных о составе катализатора № 3 по результатам рентгенографического изучения от действительного, определенного химическим анализом, объясняется видимо тем, что изменение параметра решетки Рd—Сu твердого раствора принимается как прямая функция состава Рd—Сu раствора (правило аддитивности). Между тем возможно, что вид этой зависимости связан с состоянием твердого раствора (компактный твердый раствор, дисперсный твердый раствор и т. д.) и зависимость не всегда является прямолинейной.

На рисунках 5 и 6 приведены электронно-микроскопические снимки палладий-медного катализатора № 3, заснятые в свежем состоянии и после испытания активности при температуре не выше 186°. Как было установлено и в случае Pd—Ag катализаторов [1], размеры зерен данного катализатора при нагревании до 186° также существенно не меняются.

Из полученных результатов изучения Pd—Си катализаторов можно вывести зависимость активности от содержания меди. На рисун-

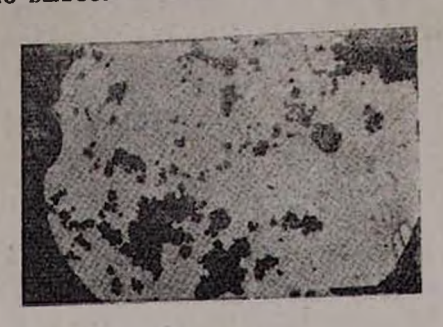


Рис. 5. Электронно-микроскопнческий синмок Pd—Си катализатора № 3, не бывшего в работе. Увеличение 8000 раз.

Величина зерен 520 А.



Рис. 6. Электромпо-микроскопический синмок Рd—Си катализатора № 3, заснятый после испытания при 186°. Увеличение 8000 раз. Величина зерен 550 A.

ке 7 кривой I представлена зависимость активности Pd—Cu катализатора от состава. На том же рисунке для сравнения приведена аналогичная зависимость для системы Pd—Ag (кривая II).

Из кривой I на рисунке 7 видно, что по мере увеличения количества меди в палладий-медных катализаторах активность последних

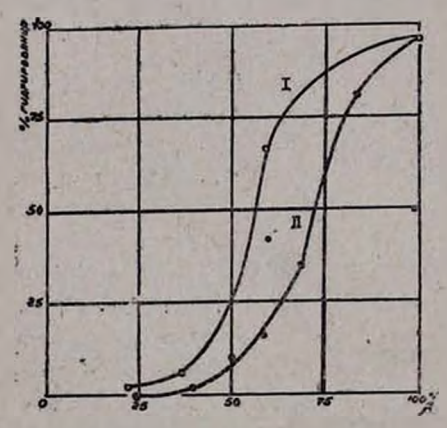


Рис. 7. Кривые изменения активности Рd—Си и Fd—Ад катализаторов в зависимости от их состава. Условия испытания катализаторов: т. 186°, скорость водорода 0,75 л/ч. Количество Рd в катализаторах 0,35г.

уменьшается и при содержании около 70 ат ⁰/₀ меди практически становится равной нулю. Таким образом, дезактивирующее действие меди на палладиевый катализатор в отношении гидрирования бензола аналогично действию серебра на тот же катализатор.

Вместе с тем следует указать, что хотя практически полная потеря активности катализатора наблюдается примерно при одних и тех же атомных процентах меди и серебра (~70 %) в Pd—Си и Pd—Ад катализатарах, тем не менеепри средних содержаниях меди последняя оказывает на палладий заметно меньшее дезактивирующее действие, чем серебро.

Снижение активности Pd—Ag и Pd—Cu катализаторов по мере увеличения содержания в них серебра или меди нами объясняется за-

полнением свободных электронных уровней палладия электронами серебра и меди. Как известно, этим объясняют уменьшение парамагнетизма палладия при введении серебра или меди в палладий.

Как видно из данных [3] измерения магнитной восприимчивости Pd-Ag и Pd-Си твердых растворов, приведенных на рисунке 8, магнитная восприимчивость палладия уменьшается при введении серебра в палладий более резко, чем при введении меди. Возможно это следует поставить в связь с более резким снижением каталити-

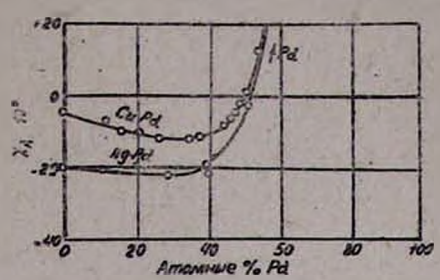


Рис. 8. Изменение магнитной восприимчивости в системах Pd-Сц и Pd-Ag с изменением их состава.

ческой активности при введении серебра в палладий.

Выводы

- 1. Изучено влияние меди на активность палладиевого катализатора при гидрировании бензола и произведено сравнение с аналогичным действием серебра.
- 2. Установлено, что активность смешанных палладий-медных катализаторов ниже активности чистого палладиевого катализатора.
- 3. По мере увеличения содержания меди активность палладиймедного катализатора (аналогично палладий-серебряному) закономерно падает и при содержении меди~70 ат °/о практически достигает нуля. Таким образом подтвердилось предположение о том, что по мере увеличения меди в твердых растворах Pd-Cu, параллельно с уменьшением магнитной восприимчивости, уменьшается также каталитическая активность этих систем.
- 4. Активность палладий-медного катализатора, содержащего 36,8 ат % Рd, при обработке в струе воздуха при 186° возрастает примерно в 1,5 раза, тогда как при аналогичной обработке активность Pd-Ag катализатора практически не меняется.
- 5. Обработка в струе водорода при температуре 330° приводит к сильному понижению активности этого катализатора, хотя в несколько меньшей степени, чем для Pd-Ag катализатора.
- 6. Активность Pd-Си катализаторов при продолжительной выдержке в атмосфере водорода (при комнатной температуре) несколько повышается, тогда как при аналогичных условиях для Pd-Ag катализаторов наблюдалось понижение активности.

Ереванский политехнический институт им. К. Маркса

Поступнао 20 VII 1957

Ա. Հ. Ալչուջյան և Ե. Թ. Քրիսաստության

Pd-Ag. Pd-Cu եվ Pd-Au ԽԱՌԸ ԿԱՏԱԼԻԶԱՏՈՐՆԵՐԻ ՈՒՍՈՒՄՆԱՍԻ-ՐՈՒԹՅՈՒՆԸ ԲԵՆԶՈԼԻ ՀԻԴՐՄԱՆ ՊՐՈՑԵՍՈՒՄ

Հաղորդում II: Գալլադիում-պզինձ խառը կատալիցատորների ուսումնասիրությունը

ппопопри

Մևր ճախորդ աշխատանքով [1] պարզվևց, որ պալլադիում-արձախ խառը կատալիզատորների մեջ արձախի պարունակության աճի հետ ընկնում է նրա կատալիստիկ ակտիվությունը բենզոլի հիդրման պրոցեսում և մոտավորապես 65—70 ատ⁰/₀ արձախ պարունակող Pd-Ag կատալիզատորը դասնում է ոչ ակտիվ։ Հալոնի է, որ պալլադիում-արձախ համաձուլվածընհրում արժաթի պարունակության աճի հետ պարամագնիսականությունը նվաղում է և 65—70 ատ ⁰/₀ արձաթի դեպքում հասնում է դերոլի։

Հաստատվեց այն ենվարրությունը, թե Pd-Ag կարծը լուծույթում պաըտմագնիսականության անկմանը զուգընթաց (որը բացատրում են ալալադիումի ազատ էլեկտրոնային մակարդակների լրացմամբ՝ ի հաջիվ արձաթե Էլեկտրոնների) պետք է ընկի նաև այդ սիստեմի կատալիտիկ ակտիվությունը։

Բանի որ պոլիոննը պալլադիումի պարամադնիսականութիրն վրա աղդացու-Է ալնպես, ինչպես արժաթը, հետաքրքիր էր պարզել նաև պղնձի աղդեցությունը պալլադիումի կատալիտիկ ակտիվության վրա։

Մեր կատարած բազմաթիվ փորձերը ցույց տվեցին, որ պղինձն, իսկապես, նույնպիսի ազդեցություն է դործում պալլադիումի կատալիտիկ ակտիվության վրա և ժոտավորապես 65—70 ատ ⁰/₀ պղինձ պարունակող Pd-Cu կատալիզատորի ակտիվությունը բենգոլի հիդրման պրոցեսում դործնականորեն հավասարվում է զևրոլի։

ЛИТЕРАТУРА

- 1. А. А. Алчуджан, Е. Т. Кристостурян. Сборник научных трудов Ереванского политехнического института, 16, 137 (1957).
- 2. А. А. Алчуджан. Докторская диссертация. Институт нефти АН СССР. 1951, стр. 236.
- 3. B. Sve.sson, Ann. d. Phys., 5, 14, 699 (1932).
- 4. E. Vog!, H. Kr2gir, Ann. d. Phys., 18, 755 (1933).
- 5. R. Pe se, R. Purdum, J. Am. Chem. Soc., 47, 1435 (1925).
- 6. P. S batter, J. Senderens, Ann. Chim. Phys., 4, 368 (1908).
- 7. V. Ipatieff, B. Corson, I. Kurbatov, J. Phys. Chem., 5, 589 (1939).

Քիմիական գիտ, սեբիա

X, № 5, 1957

Серия химических наук

С. А. Варданян и Ц. Е. Агаджанян

Синтез эфиров левулиновой кислоты из 1,3-дихлорбутена-2

Эфиры левулиновой кислоты обычно готовят прямой этерификацией свободной кислоты, получаемой из крахмала [1] и других сахаристых веществ. Синтетически левулиновый эфир был получен из янтарного апгилрида [2], а также применением в качестве исходного вещества дикетена [3]. Другие методы синтетического получения, ввиду малой доступности исходных веществ, препаративного интереса не представляют.

Ранее нами был описан [4] синтез этилого эфира левулиновой кислоты из нитрила 2-хлорпропенилуксусной кислоты, в свою очередь получаемого из 1,3-дихлорбутена-2. Аналогичный синтез, независимо от нас, был осуществлен Фетизоном и Жулия [5].

Настоящая статья посвящена дальнейшей разработке этого способа и его применению в синтезе левулиновых эфиров жирных спиртов. Исходный 2-хлорпропенилацетонитрил был получен с 80%, ным выходом по разработанной ранее прописи [4]—взаимодействием 1,3-дихлорбутена-2 с цианистым натрием в водно-ацетоновой среде.

В отличие от применявшейся нами ранее [4] методике, этерификация нитрила производилась с помощью спиртовых растворов хлористого водорода.

В этом случае эфиры 2-хлорпропенилуксусной кислоты получаются в результате гидролиза промежуточно-образующихся имино-эфиров.

$$CH_{3}-CCl=CH-CH_{2}-CN+HOR+2HCl\rightarrow$$

$$\rightarrow CH_{3}-CCl=CH-CH_{2}-C(NH_{2})OR\cdot HCl\xrightarrow{-HCl}$$

$$Cl$$

$$\rightarrow CH_{3}-CCl=CH-CH_{2}-C(=NH)OR\cdot HCl\rightarrow$$

$$H_{2}O\rightarrow CH_{3}-CCl=CH-CH_{2}-C\begin{pmatrix}O\\OR+NH_{4}Cl\end{pmatrix}$$

• Выходы эфиров 2-хлорпропенилуксусной кислоты колеблются в пределах 60—70%.

Последняя стадия синтеза заключалась в сернокислотном гидролизе этих эфиров.

$$CH_{3}-CCI=CH-CH_{2}-C \xrightarrow{O} OR \xrightarrow{H_{3}SO_{4}} CH_{3}-C-CH_{2}-CH_{3}-C \xrightarrow{O} OR$$

Не исключена была возможность лактонизации получаемых эфиров левулиновой кислоты с последующим присоединением спирта и образованием псевдоэфиров ангелико-лактонов

$$CH_{s}-C-CH_{s}-CH_{s}-C \nearrow OR \rightarrow CH_{s}-C=CH-CH_{s}-C \nearrow OR \rightarrow OH$$

$$\begin{array}{c} -\text{ROH} \\ \longrightarrow \text{CH}_3-\text{C}=\text{CH}-\text{CH}_2-\text{C} \\ \hline \end{array} \begin{array}{c} O \\ +\text{ROH} \\ \longrightarrow \text{CH}_3-\text{C}-\text{CH}_2-\text{CH}_2-\text{C} \\ \hline \end{array} \begin{array}{c} O \\ -\text{CH}_3-\text{C}-\text{CH}_2-\text{CH}_2-\text{C} \\ \hline \end{array}$$

Подобные псевдоэфиры были описаны Ланглойсом и Вольфом [6]. Если эти псевдоэфиры и образовывались в некотором количестве, то наличие их в конечных продуктах реакции следует считать исключенным, так как при щелочной обработке сырого продукта они неизбежно должны были перейти в водный слой в виде натриевой соли левулиновой кислоты.

Описанным путем были получены левулиновые эфиры метилового, этилового, пропилового, н-бутилового, изобутилового и изоамилового спиртов. Выходы этих эфиров, считая на нитрил, колеблются в пределах 30—45% теоретического количества. Исключение составил метиловый эфир, образующийся с выходом 16,5%.

Экспериментальная часть

Эфиры 2-хлорпропенилуксусной кислоты. К 120 мл абсолютного спирта, предварительно насыщенного хлористым водородом, приливалось 15 г (0,13 моля) 2-хлорпропенилацетонитрила и 2,4 г (0,13 моля) воды. Реакционная смесь кипятилась с обратным холодильником в течение 15 мин. В колбе образовывался обильный осадок хлористого аммония. После охлаждения реакционной смеси приливалось 250 мл воды и продукт реакции экстрагировался эфиром. Эфирный раствор промывался водой и сушился безводным сернокислым натрием.

После отгонки эфира и избытка спирта (в случае низкокипящих спиртов) остаток перегонялся в вакууме.

В тяблице 1 указаны выходы и свойства эфиров 2-хлорпропенилуксусной кислоты.

Таблица 1

R	Выхо- ды в °/0	Т. кип. в °С	Давл. н мм	n ¹⁸	d ¹⁸	МЕ най- дено	анс- анс- вм-	°/о(най- дено	Вы- чис- лено
CH _a C ₂ H _a	59,06 66,27	61—63 111—114	15 56	1,4538 I,4545 (при 17°)	1,1350 1,0741 (при 17°)	35,30 41,07		24,11 21,80	23,90 21,84
C ₃ H ₇	66,64	86-89	6	1,4504 (при 15°)	1,0451	45,42	45,20	19,53	30,11
н- С ₄ Н ₉ нзо-С ₄ Н ₀ нзо-С ₄ Н ₁₁	65,30 67,61 69,50	116—118 109—111 121—124	20	1,4505 1,4460 1,4498	1,0310 1,0232 1,0121	49,57 49,51 54,14		18,11	18,63 18,63 17,40

Эфиры левулиновой кислоты. К 25 мл охлажденной ледяной водой концентрированной серной кислоты, при помешивании, постеженно прибавлялось 0,08 моля эфира 2-хлорпропенилуксусной кислоты,

CH₂COCH₂CH₂COOR

Таблица 2

17-14	%	U	жж			MF	d)	
R	Выход в	Т. кип. в	Давл. в л	n _D	- d4	найдено	вычи-с лено	
CH ₃	16,63	85—86	14 n	²⁰ 1,4225	d ²⁰ 1,0495	31,52	31,57	
C ₂ H ₅	30,03	103—104	22 n	15 1,4234	d4 1,0198	35,98	36,19	
C _s H ₇	30,64	83 – 86	3 n	17 1,4316	d ₄ ¹⁷ 1,0059	40,71	40,81	
C ₄ H ₉	40,70	117—120	16 п	13 1,4340	d_4^{13} 0,9975	44,90	45,42	
изо-С4Н	44,80	119—123	21 n	18 1,4280	d4 0,9794	45,18	45,42	
нзо-С ₅ Н ₁₁	29,07	111—114	5 n	1,4356	d4 0,9806	49,56	50,04	
	0	/₀ C		⁰/₀ H	C	емикарбаз	зон 🔧	
R				150		0/0	N	
1111	пайдено	вычислено	найдено	вычислен	10 E O	найдено	слено -	
CH,	55,21	55,38	7,63	7,69	142—144	22,31	22,46	
C _s H _s	58,19	58,33	8,25	8,33	149-150	20,77	20,89	
C,H,	60,14	60,75	8,71	8,86	128—129	19,12	19,53	
C ₄ H _a	62,95	62,79	9,14	9,30	94—96	17,80	18,34	
Clark	42,50							
изо-С ₄ Н ₉	62,31	62,79	9,16	9,30	103-105	17,92	18,34	
		11	9,16 9,98	9,30 9,67	103—105 86—87	17,92 16,88	18,34 17,28	

после чего реакционная смесь оставлялась на ночь при комнатной температуре. На следующий день смесь сливалась на лед и продукт реакции экстрагировался эфиром. Эфирный раствор промывался водой, 4% на раствором щелочи, снова водой до нейтральной реакции и сушился над безводным сернокислым натрием. После отгонки растворителя остаток перегонялся в вакууме. В таблице 2 приведены выходы и свойства синтезированных эфиров левулиновой кислоты. Константы этих эфиров соответствовали литературным данным [6—9].

Выводы

- 1. Разработан общий способ синтеза эфиров левулиновой кислоты, основанный на применении в качестве исходного вещества 1,3-ди-хлорбутена-2. С помощью этого способа синтезированы метиловый, этиловый, пропиловый, н-бутиловый, изобутиловый и изоямиловый эфиры левулиновой кислоты.
- 2. В качестве промежуточных продуктов получены не описанные в литературе метиловый, пропиловый, н-бутиловый, изобутиловый и изоамиловый эфиры 2-хлорпропенилуксусной кислоты.

Химический институт АН АрмССР

Поступило 5 VII 1957

Ս. Ա. Վարգանյան և 8. Ե. Աղաջանյան

LԵՎՈՒԼԻՆԱԹԹՎԻ ԷՍԹԵՐՆԵՐԻ ՍԻՆԹԵԶԸ 1,3-ԴԻՔԼՈՐԲՈՒՏԵՆ-2-**Ի8**

L U P A P A P U

և պրեպարատիվ նշանակություն չունեցող այլ մեթոդներով։ Թերից ստացվող լեվուլինաթթվի ուղղակի Էսթերացմամբ։ Սինթետիկ ձանա-Լեվուլինաթթվի Էսթերներն ստացվում են սաթաթթվից, դիկետևնից Հունեցող այս մեթոդները, որոնակում հարաարան հարանարան

Ներկա աջխատան ըր նվիրված է լեվուլիան թնվի էս թեր ստացման վևորարելուլ մեզնից մեկի հրատարակած [4] աշխատունակի էս թեր ստացման վև-

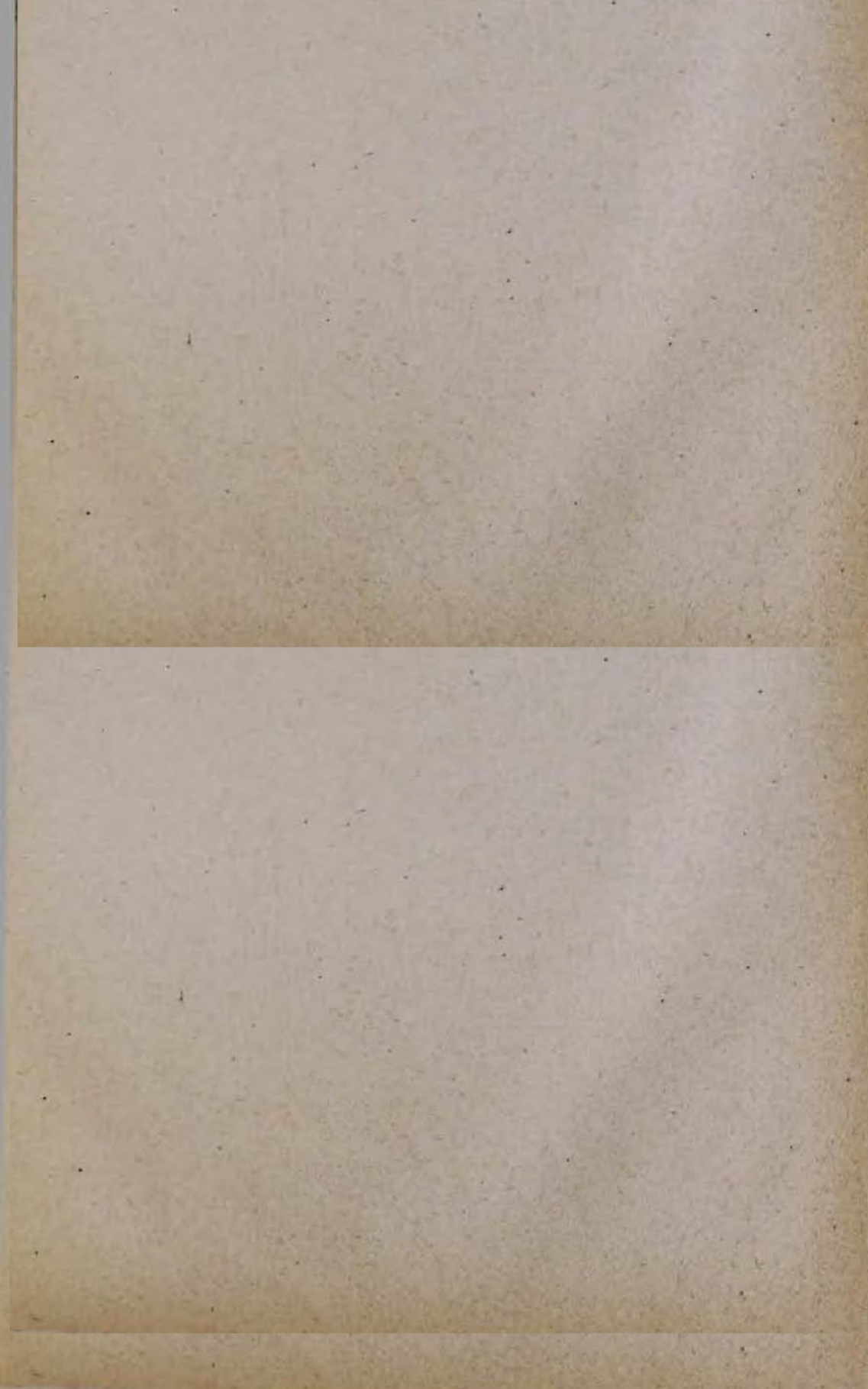
Շլանլութ հանդիսացող 2-քլորպրոպենիլացետոնիտրիլի մատչելիությունը (ելքը 80º/₀), մեր կարժիքով, այս մեթոդը դարձնում է լեվուլինաթթվվի էսթերների ստացման պրեպարատիվ հղանակ։

Մշակված է լեվուլինաթթվի էսթերների սինթեղման ընդհանուր հղանակ, որպես ելանլութ օգտագործելով 1,3-դիքլորբուտեն-2-ը։ Այդ հղանակի կիթառմամբ ստացվել են լեվուլինաթթվի մեթիլ, էթիլ, պրոպիլ, նորմալ բուտիլ, իղոբուտիլ և իղոամիլ էսթերները։

Որպես միջանկլալ միացութվուններ ստացվել են գրականութվան մեջ չնկարագրված 2-ըլորպրոպննիլքացախաթթվի մեթիլ, պրոպիլ, նորմալ բուտիլ, իղորուտիլ և իզոամի, Էսթերները։

ЛИТЕРАТУРА

- 1. W. A. von-Ekenstein, J. I. Blanksma, Ber., 43, 2356 (1916).
- 2. Blaise, C. r., 128, 185 (1899); Bl. Soc. Chim. Fr., 3, 21, 647 (1899).
- 3. A. Treibs, K. Hintermeier, Ber., 87, 1163 (1954).
- 4. C. A. Варолнян, ЖПХ, 25, 1322 (1952).
- 5. M. Fetizon, M. Julia. C. r., 235, 1654 (1952).
- 6. D. P. Langlois, II. Wolff, J. Am. Chem. Soc., 70, 2624 (1948).
- 7. D. K. Grote, R. Kehres, T. Tollens, Ann., 206, 220 (1881).
- 8. K. Pummerer, N. Gump, Ber., 56, 1003 (1923).
- 9. L. Conrad, Ann., 188, 225 (1877).



Բիմիական գիտ, սեբիա

X, № 5, 1957

Серия химических наук

С. А. Вартанян и Ш. О. Баданян

Химия винилацетилена

Сообщение VI. Присоединение вторичных аминов к винилацетиленовым спиртам

Энгельгардт [1] показал, что присоединение аминов к винилацетилену приводит к образованию аминов ацетиленового ряда. В одном из предыдущих сообщений [2] мы описали синтез ацетиленовых аминоспиртов путем присоединения вторичных аминов к винилацетиленовым спиртам.

$$\begin{array}{c|c} \text{OH} & \text{HN} \swarrow_{R}^{R'} & \text{OH} \\ > \text{C} - \text{C} \equiv \text{C} - \text{CH} = \text{CH}_2 & \longrightarrow \end{array} > \begin{array}{c} \text{C} + \text{C} = \text{C} = \text{C} + \text{C} = \text{C} = \text{C} + \text{C} = \text{C}$$

Развивая это исследование, в настоящей статье мы описываем реакцию присоединения аминов к ряду других винилацетиленовых спиртов, содержащих алифатические, ароматические, алициклические и гетероциклические радикалы, легко получаемых конденсацией винилацетилена с соответствующими кетонами [3].

Присоединение аминов к винилацетиленовым спиртам гладко проходит при нагревании смеси водных растворов соответствующих аминов и винилацетиленовых спиртов в запаянной ампуле (стеклянной или металлической). При этом получаются ацетиленовые аминоспирты (выход 15—90°/о), а непрореагировавший карбинол возвращается обратно без изменения. Таким путем нами просинтезирована целая серия ацетиленовых аминоспиртов.

При взаимодействии водных растворов диметил- и диэтиламинов с алифатическими винилэтинилкарбинолами получаются с хорошими выходами 1-диалкиламино-5-алкилгексин-2-олы-5. Реакция взаимодействия пиперидина с метилалкилвинилэтинилкарбинолами протекает гладко и приводит к образованию 1-пиперидил-5-алкилгексин-2-ола-5

OH
$$R'-C-C = C-CH = CH_2 + HN < R \rightarrow R'-C-CH_3-C = C-CH_2N < R$$

$$CH_3 \qquad CH_3 \qquad 1$$

R=R'=CH₃; C₂H₅; R и R—пентаметилен.

Аналогично идет реакция присоединения аминов к 2,2-диметилвинилэтинилтетрагидро-4-пиранолу. При этом получаются 1'-диалкиламино-2'-бутинил-2,2-диметил-4-пиранолы (II).

Пригоединение вторичных аминов к алициклическим винилацетиленовым спиртам проходит хорошо и приводит к синтезу соответствующих аминоацетиленовых спиртов (III, IV).

HO C=C-CH=CH₂

HN
$$\stackrel{R}{\longrightarrow}$$

HO CH₂-C=C-CH₂N $\stackrel{R}{\nearrow}$

HO CH₂-C=C-CH₂N $\stackrel{R}{\nearrow}$

III

HO C=C-CH=CH₂

HN $\stackrel{R}{\nearrow}$

IV

R=CH₃; C₂H₅; R и R-пентаметилен.

Аналогично протекает и реакция присоединения аминов к вторичным винилацетиленовым спиртам. Так, например, при нагревании водных растворов аминов и вторичных винилэтинилкарбинолов получаются соответствующие аминоацетиленовые спирты (V):

OH
$$R'-C-C\equiv C-CH=CH_*$$
 $HN < R \\ R'-C-CH_3-C\equiv C-CH_3N < R \\ R'-C-CH_3-C\equiv C-CH_3N < R \\ R'=H-C_3H_7;$ изо- C_3H_7 , CH_3 ; $R=CH_3$; R и R —пентаметилен.

Присоединение диметиламина к дифенилвинилэтиннлкарбниолу протекает яналогично вышеописанному и приводит к образованию 1-диметиламино-2-бутинил-дифенилкарбинола (VI).

$$\begin{array}{c} \text{OH} \\ \text{C}_{\text{g}}\text{H}_{\text{5}} \\ \text{C}_{\text{-}}\text{C} = \text{C} - \text{CH} = \text{CH}_{\text{2}} \\ \end{array} \xrightarrow{\text{HN}} \begin{array}{c} \text{CH}_{\text{3}} \\ \text{CH}_{\text{3}} \\ \text{C}_{\text{6}}\text{H}_{\text{5}} \\ \end{array} \xrightarrow{\text{C}} \begin{array}{c} \text{OH} \\ \text{C} - \text{CH}_{\text{2}} - \text{C} = \text{C} - \text{CH}_{\text{2}}\text{N} \\ \text{CH}_{\text{3}} \\ \end{array} \xrightarrow{\text{CH}_{\text{3}}} \\ \text{C}_{\text{6}}\text{H}_{\text{5}} \\ \end{array} \xrightarrow{\text{C}} \begin{array}{c} \text{OH} \\ \text{C} - \text{CH}_{\text{2}} - \text{C} = \text{C} - \text{CH}_{\text{2}}\text{N} \\ \text{CH}_{\text{3}} \\ \end{array} \xrightarrow{\text{C}} \\ \begin{array}{c} \text{C} + \text{C} +$$

Экспериментальная часть

Присоединение аминов к винилацетиленовым спиртам проводилось следующим образом: смесь винилацетиленового спирта и водного раствора соответствующего амина нагревалась в запаянной ампуле в течение 20—40 часов на кипящей водяной бане. Избыток амина удалялся в вакууме на водяной бане при 45°, раствор подкислялся соляной кислотой до кислой реакции, нейтральные продукты экстрагировались эфиром. Органические основания высаливались поташем, экстрагировались эфиром, сушились сульфатом магния и перегонялись в вакууме.

Дифенилвинилэтинилкарбинол синтезирован взаимодействием вивилэтинилмагнийбромида с бензофеноном; он имел следующие константы: т. кип. 160° при 2 мм; т. пл. 40°.

Просинтезированные соединения и их константы представлены в приводимой ниже таблице.

Выводы

Показано, что вторичные амины способны присоединяться к алифатическим, алициклическим, ароматическим и гетероциклическим третичным винилацетиленовым спиртам. Присоединение аминов к вторичным винилацетиленовым спиртам протекает аналогично.

Разработан новый метод синтеза ацетиленовых аминоспиртов и просинтезировано 15 новых соединений этого ряда.

Химический институт АН АрмССР

Поступило 26 IV 1957

Ս. Հ. Վարդանյան և Շ. Հ. Քաղանյան

ՎԻՆԻԼԱՑԵՏԻԼԵՆԻ ՔԻՄԻԱՆ

Հայորդում VI: Երկրորդային ամինների միացումը վինիլացետիլենտյին սպիրաներին

UTPNPNPU

Մեր առաջին հաղորդման մեջ [2] նկարագրել ենք աժինասպիրտների ստացումը վինիլացետիլենային սպիրտների հետ փոխադարձ ներգործության միջոցով։

Շարունակելով այդ ուսումեասիրությունը, ներկա հոդվածուժ մենք նկաթագրում ենք ամինների միացման ռեակցիան վինիլացետիլենալին այլ սպիրտներին, որոնք պարունակում են ալիֆատիկ, ալիցիկլիկ և հետերոցիկլիկ ռադիկալներ։ Վերջիններս, ինչպես ցույց են տվել Ի. Ն. Նազարովը և աշխատակիցները, հեշտությամբ ստացվում են համապատասիսան կետոնների հետ վինիյացետիլենի կոնդենսումով։

	Кол-в	о исх.	нагрев.	0/0	ပ
Структурная формула	3 1			Выход в	кип, в
	CUR D 2	ВОДИЫЙ ЗМИН (25°/0) В .МЛ	Вре	Bux	Ė.
OH CH ₃ -CH-CH ₈ C = C-CH ₈ N(CH ₈):	33	200	30	68	85
OH CH ₃ —CH ₂ —CH ₂ —C≡C—CH ₂ N(C ₂ H ₃):	9,4	48	26	25,5	98
OH (CH ₂) ₂ —C·-CH ₂ —C≡C—CH ₂ N	16,5	40	20	51,6	128
CH_{3} OH $C-CH_{2}-C \equiv C-CH_{2}-N(CH_{3})_{3}$	49,6	110	24	31,0	103
CH_3 OH C — CH_3 — $C \equiv C$ — $CH_2N(C_3H_5)_2$ C_3H_4	16,9	110	40	11,0	112
HO CH ₃ - C≡CCH ₃ N(CH ₃) ₃	27	110	40	67,0	177
CH _a					
O CH ₃ HO CH ₂ —C≡C—CH ₂ —N(C ₂ H ₆) ₈	24	170	38	41,5	172
CH ₃					
HO CH2-C=C-CH2-N	18	28	30	41,5	156
CH CHa	310				**
HO CH ₂ -C = C-CH ₂ -N(CH ₃) ₂	30	110	40	41.0	118—119
					012
HO CH ₂ -C≡C-CH ₂ -N	15	30	27	43,4	-142
		1			
HO CH ₂ -C≡C-CH ₂ -N(CH ₃) ₂	13,6	30	34	60,7	94
		20	27	51 1	146
HO CH2-CEC-CH2N	13,6	32	21	51,1	140
OH				-	No. of Street, or other Persons and the street, or other persons are street, or other persons and the street, or other persons and the street, or other persons and the street, or other persons are street, or other persons and the street, or other persons are street, or other persons and the street, or other persons are street, or other persons and the street, or other persons are street, or other persons and the street, or other persons are street, or other persons and the street, or other persons are street, or other persons and the street, or other persons are street, or other persons and the street, or other persons are street, or other persons and the street, or other persons are street, or other persons ar
C_3H_7 — CH — CH_2 — $C\equiv C$ — $CH_2N(CH_3)_2$	27,8	35	24	28,5	121
OH нзо-С ₃ H ₇ -СН-СН ₂ -С≡С-СН ₂ N	19	40	24	18,7	121
$(C_0H_5)_2-C-CH_2-C\equiv C-CH_2N(CH_3)_4$	5	50	24	89,8	т. па. 134

120	2 40		M.	iR	Элемент. N в	анализ на 0/0	Т. пл.
Даняенне в мм	п <mark>р</mark>	d ₄ ²⁰	найдено	но но	найдено	вычислено	ликрата в °С
2	1,4848	0,9091	44,40	42,60	10,44	9,93	103-104
2	1,4834	0,9036	52,00	49,84	8,28	8,29	-
6	1,5031	0,9568	60,02	58,88	7,46 7,26	7,18	97*
2	1,4805	0,9091	53,25	51,89	8,56	8,29	
2	1,4818	0,9064	61,9	61,06	7, 0 3 6,89	7,10	-
12	1,4971	_	70	-	6,83	6,22	_
3	1,4963	1	_	_	6,02	5,53	_
2	1,5124	_	_	_	5,57 5,5 4	5,28	_
2	1,5078	0,9686	59,99	58,90	7,59	7,19	-
2.5	1,5246	_	-	_	6, 0 9 5,94	5,96	_
3	1,5010	0,9631	55,8	54,1	7,65 7,53	7,73	125
2,5	1,5210	0,9944	67,4	65,92	5,92 6,14	6,33	-
10	1,4794	0,9020	52,1	51,8	8,25 8,53	δ,29	-
1,5	1,5010	0,9576	64,3	63,49	7,29 6,83	6,87	-
1/250	1-20	4	-	-	5,11 5,39	5,01	132

արկերույիը որկնա, որդենային որկնարդրեր աղերորել կրույել որդենային որկնա որկնա, որկերարդին որկնային որկնային որկնային որկնային աղերարդին ազերության արերարդին արերարդին արերարդին արերարդին արերարդին ազերարդին ազերարդին ազերարդին ազերարդին ազերարդին արերարդին ազերարդին ազերարդին ազերարդին ազերարդին արերարդին արերարդի

$$\begin{array}{c} \text{OH} & \text{OH} \\ R > C - C \equiv C - CH = CH_2 \end{array} \xrightarrow{\text{HN} < 1} \begin{array}{c} \text{OH} \\ R > C - CH_2C \equiv C - CH_2N < 1 \end{array}$$

Համանման է ընթետնում նաև ամինների միացումը գ,գ-դիմեթիլվինիլէթինիլտետրահիդրո-դ-պիրոնի հետ՝

ին սպիրաներ՝ ամինների միացումը այրցիկլիկ վինիլէիկնիրկարբինո**լնե**թեն լավ է ընթանում. առաջանում են համապատասիան ամինաացետիլեն<mark>ա-</mark>

սպիրաներին ընթանում է համանման։ Այսպիսով ցույց է արված, որ հրկրորդալին ամիննիկ վինիլացետիլե-Այսպիրաներին։ Ամիննկրի միացումը երկրորդային վինիլացետիլենա<mark>լին</mark> Այսպիսոն ընթանում է համանման։

ЛИТЕРАТУРА

1. V. A. Engelhardt, J. Am. Chem. Soc., 78, 107 (1956).

2. С. А. Вартанян и Ш. О. Баданян, Изв. АН АрмССР, с. ФМЕТ наук, IX, № 10, 10 7(1956).

3. И. Н. Назаров, Усп. Хнм., 14, 1 (1945), И. Н. Назаров, Изв. АН СССР, ОХН, 1938, 686; И. Н. Назаров и И. В. Торгов, ЖОХ, 18, 1338 (1948); И. Н. Назаров и Л. Н. Пилкина, Изв. АН СССР, ОХН, 1946, 633 И. Н. Назаров и М. С. Бурмистрова, Изв. АН СССР, ОХН, 1947, 51.

Քիմիական գիթ, սև**շ**իա

X. № 5, 1957

Серия химических наук

Г. Т. Есаян и А. Г. Варданян

Исследования в области эфиров сульфокислот

Спобщение II. Синтез 4-метил-7-кумариловых сульфоэфиров

Кумариловые эфиры сульфокислот нами получались аналогично ранее описанному 4-метил-7-кумариловому эфиру ү-хлоркротилсульфокислоты—взаимодействием 4-метил-7-оксикумарина с хлорангидридами сульфокислот в присутствии оснований:

были взяты: метил-, этил-, пропил-, изопропил-, пропенил-, аллил-, бутил-, изобутил-, октил-, бензил-, бензолсульфохлориды.

Применение поташа в качестве щелочного реагента в среде ацетона в большинстве случаев дало хорошие результаты. Несколько хуже идет реакция в присутствии водного раствора едкого натра. Применение пиридина выгодно только в случае сульфохлоридов с аллильным радикалом. В присутствии поташа и едкого натра хлорангидриды, содержащие фенильный радикал и нормальную насыщенную углеродную цепь, дают, как правило, лучшие выходы эфиров, чем сульфохлориды с углеродной цепью изостроения и ненасыщенной, в особенности, аллильной группировкой; к последним должен быть отнесен и бензилсульфохлорид, содержащий радикал, по своему влиянию на связанные с ним функциональные группы аналогичный аллильному радикалу.

Указанные различия в выходах эфиров, в зависимости от строения кислотного остатка и условий реакции, можно объяснить различиями в относительных скоростях реакции образования эфира с одной стороны и реакций исходного сульфохлорида и образовавшегося эфира со щелочным реагентом, с другой. Такое объяснение согласуется с тем, что в водной среде, где условия для указанных побочных реак-Известия X, № 5—4

ций более благоприятны, выход эфира, как правило, относительно низкий.

Все синтезированные 4-метил-7-кумариловые эфиры сульфокислот жристаллические, бесцветные вещества; практически не растворяются в воде, более или менее растворимы в обычных органических растворителях, плохо растворяются в минеральных маслах.

Инсектицидные и акарицидные свойства полученных эфиров изучаются на Паракарской экспериментальной базе Института земледелия МСХ Армянской ССР. Данные испытаний показывают, что помимо ранее описанного 4-метил-7-кумарилового эфира т-хлоркротилсульфокислоты [1] другие 4-метил-7-кумариловые эфиры, как например, эфиры н-бутил- и изобутилсульфокислот также обладают высокой акарицидной активностью. Более подробно об инсектицидных и акарицидных свойствах 4-метил-7-кумариловых эфиров будет сообщено отдельно-

Экспериментальная часть

4-Метил-7-оксикумарин нами получен копденсацией ацетоуксусного эфира с резорцином [3]. Алкансульфохлориды получены из соответствующих тиоцианатов [4], бензилсульфохлорид—из продукта конденсации хлористого бензила с тиомочевиной [4], проценил-[5] и аллил-[6] сульфохлориды—из солей соответствующих сульфокислот.

Синтез 4-метил-7-кумариловых эфиров

а) В присутствии поташа в ацетоне. К 5% -ному раствору 4-метил-7-оксикумарина в ацетоне прибавлялся сульфохлорид в не-

	Выхо	д эфира	B 0/0	Т. пл.	% S		
R	поташ + ацетон	NaOH + вода	пиридин	п°С	найдено	мено вычис-	
CH _a —	80,9	73,0		163—164	12,97	12,60	
CH ₈ -CH ₈ -	82,8	70,8	_	98	12,04	11,94	
CH ₃ -CH ₂ -CH ₂ -	88,6	80,1	_	117—118	11,13	11,34	
(CH _a) ₃ CH—	70,9	70,9	_	120—121	11,26	11,34	
CH ₃ -CH=CH-	71,9	35,7		105—106	10,99	11,43	
CH ₁ -CH-CH ₁ -	48,6	28,6	54,5	112-113	11,32	11,43	
CHa-CCI=CH-CHa-	43,9	31,7	71,9[1]	129-130			
CH ₂ -CH ₂ -CH ₂ -CH ₃ -	94,6	62,8	32,4	87-88	10,79	10,80	
(CH ₂) ₂ CH—CH ₂ —	81,1	70,3	-3-	100-10	10,60	10,80	
CH ₈ —(CH ₂) ₇ —	62,5	35,7	(<u> </u>	62—63	8,90	9,09	
C ₆ H ₆ —CH ₂ —	69,7	59,4	63,7	139	9,25	9.70	
C ₆ H ₈	91,2	72,8	55,0	104 105	9,85	10,12	

большом избытке $(10-20^{\circ})$, а затем—тонкоразмельченный безводный поташ (избыток~ 300°). Реакционная смесь кипятилась на водяной бане в течение 5 часов, оставлялась сутки при комнатной температуре и отфильтровывалась; от фильтрата отгонялся растворитель; сырой эфир обрабатывался 5° 0-ным раствором едкого натра, промывался водой и сушился на воздухе.

Чистый эфир получался путем перекристаллизации из водного ацетона.

- б) В присутствии водного раствора едкого натра. К 20% оному водному раствору едкого натра прибавлялись эквимолекулярные количества 4-метил-7-оксикумарина и сульфохлорида. Реакционная смесь нагревалась на кипящей водяной бане при постоянном перемешивании в течение 4 часов. Осадок сырого эфира обрабатывался как указано выше.
- в) В присутствии пиридина. К охлажденной льдом смеси 4-метил-7-оксикумарина и сульфохлорида (избыток 15—20%) постепенно прибавлялся большой избыток (600—800%) сухого пиридина. Реакционная смесь оставлялась при комнатной температурс на двое суток, затем сливалась в разбавленную соляную кислоту. Выделившийся эфир обрабатывался как в предыдущих случаях.

Выходы и характеристика полученных эфиров указаны в прилагаемой таблице. Для сравнения в таблице приведены и данные по получению ранее описанного 4-метил-7-кумарилового эфира ү-хлоркротилсульфокислоты.

Вывол

Взаимодействием 4-метил-7-оксикумарина с метил-, этил-, пропил-, изопропил-, пропенил-, аллил-, бутил-, изобутил-, октил-, бензил- и бензолсульфохлоридами в присутствии оснований (поташ, едкий натр, пиридин) получены 4-метил-7-кумариловые эфиры соответствующих сульфокислот.

Химический институт АН АрмССР Поступило 4 V 1957

Հ. 8. Մոայան և Ա. Գ. Վարգանյան

<u>ՀԵՏԱԶՈՏՈՒ</u>ՔՅՈՒՆՆԵՐ ՍՈՒԼՖՈԹԹՈՒՆՆԵՐԻ ԷՍԹԵՐՆԵՐԻ ԲՆԱԳԱՎԱՌՈՒՄ

Հաղորդում II: 4-Մեթիլ-7-կումարիլ սուլֆոկոթերների սինթեզբ

ILITONONE

Նախորդ հաղորդման մեջ նկարագրված էին ղ-քլորկրոտիլսուլֆոԹԹվի մի շարջ էսԹևրներ, այդ Թվում և 4-մեԹիլ-7-կումարիլ էսԹերը։ Նկատի ունենալով, որ այդ միացուԹյունը ցուցաբերեց ակարիցիդային ակտիվուԹյուն, որիարձիմ-տիաևինիմանին ջատիութիունորի վևտ։ դահիք Հոնրինրենն ը տեռներգին դի շաևճ ոսշնիսիներուրըն չևտչը ինսեն երասեն է ը նիսփսոփոսանություն հաննումիկանի տոմբունիսւրն չևտչը ինսեն երսես է ը նիսփսոփոսանությունը դեպու

Հիճնալին միջավալրում (պոտաշ ացևտոնի մեջ, կմու նատրիումի ջրային. լուծուլթ, պիրիդին) 4-մեթիլ-7-օքսիկումարինի հետ մեթիլ-, Էթիլ-,պրոպիլ-, իզոպրոպիլ-, պրոպենիլ-, ալլիլ-, բուտիլ-, իզորուտիլ, օկտիլ-, բենզիլ-, և բենգոյսուլֆոքյորիդների փոխադարձ ներգորժությամբ ստացել ենք համապա-

տասիւան սույֆոէսթերները։

Մեր նկարագրած 4-մեթիլ-7-կումարիլսուլֆոԷսթերները բլուրեղային նլութեր ևն, չեն լուծվում ջրում, լուծվում են սովորական օրդանական լուծիչներում, վատ են լուծվում հանջային լուղերում։ Այդ միացությունների ինսեկտիցիդային և ակարիցիդային հատկություններն ուսումնասիրվում հն Հակական ՍՍՌ Գլուդատնտեսության Մինիստրության Երկրագործական ինս-

in hunnimonal i

ЛИТЕРАТУРА

- 1. Г. Т. Есаян, Г. М. Марджанян, Р. М. Оганесян, А. К. Устян, Изв. АН АрмССР, СХН, 10, 277 (1957).
- 2. Г. Шрадер, Успехи хим., 22, 712. (1953), Angew. Chem., 62, 471 (1950), E. F. Taschenberg, J. Econ. Entomol., 46, 394 (1953) [С. А., 48, 4750 (1954)].
- 3. A. Russel, I. R. Frye, Organic Syntheses, 21, 22 (1941).
- 4. T.B. Johnson. J. B. Douglass, J. Am. Chem. Soc., 61, 2548 (1939).
- 5. A. Lambert, J. D. Rose, J. Chem. Soc., 1949, 46.
- 6. М. А. Белаус, Н. Я. Постовский, ЖОХ, 20, 1701 (1950).

Քիմիական գիտ, սհշիա

X, № 5, 1957

Серия химических наук

А. Л. Миджоян, В. Г. Африкян и А. А. Дохикян

Исследования в области синтеза производных триазола-1,2,4

Сообщение І. Некоторые 3-(п-алкоксифенил)-5-меркаптотриазолы-1,2,4

Область синтеза 1,2,4-триазола и его производных сравнительно мало исследована. Встречающиеся в литературе единичные и разрозненные работы недостаточно освещают вопрос о физиологических свойствах этого класса гетероциклических соединений. Между тем, имеющийся материал свидетельствует о разносторонней активности веществ этой группы.

Так, например, Эйнсворт и Джонс [1], с целью получения гистаминоподобных соединений, синтезировали, исходя из структурного сходства с гистамином [1], 3-(3-аминоэтил)-1,2,4-триазол (II) и некоторые его производные. В последующем они [2] описали новую

группу веществ, в которых β-аминоэтильный остаток занимал положение 1. Из двух групп соединений наибольшую гистаминоподобную активность проявили алкилированные производные 3-(β-аминоэтил)-триазола-1,2,4.

В патентной литературе описан 3-этил-4-циклогексил-1,2,4-триязол, обладающий выраженными аналептическими свойствами [3]. Имеется указание о том, [4], что некоторые 1-фенил-3,5-диалкил-1, .2,4-триазолы подавляют холинэстеразу. Синтезированный Эйнсвортом и Джонсом [5] 1,2,4-триазол-3-аланин действует на некоторые штаммы E·Coli и по.

В связи с этими данными представлялось интересным синтезировать и всесторонне изучить свойства замещенных триазолов-1,2,4. В качестве заместителей мы выбрали *п*-алкоксифенильные остатки, выбор которых определялся следующими соображениями. В одной из ранних работ [6] по синтезу производных бензимидазола было установлено, что введение алкокси радикалов в пара-положение бензольного кольца повышает никотинолитические свойства соединений. Кро-

ме того, наши исследования в ряду аминоэфиров *п*-алкоксибензойных кислот [7] показали, что в биологической характеристике соединений определенную роль играют величина и строение ялкокси радикалов, которые в ряде случаев изменяют активность и токсичность веществ, а иногда даже направление их действия.

Намеченные триазолы были синтезированы известным методом циклизации [1] соответственно замещенных тиосемикарбазидов. Этот путь показался нам удобным с точки зрения возможности исследования антибактериальных и, в частности, противотуберкулезных свойств промежуточных тиосемикарбазидов. Взаимодействием с хлористым тионилом п-алкоксибензойные кислоты превращались в хлорангидриды и затем в среде сухого пиридина вводились в реакцию с тиосемикарбазидом. Полученные замещенные тиосемикарбазиды в присутствии метилата натрия подвергались циклизации в триазолы.

$$RO = C - CI + NH_2NH - C - NH_2 \xrightarrow{\text{сухой}}$$

$$\rightarrow RO = C - NH - NH - C - NH_2$$

$$\rightarrow RO = C - NH - NH - C - NH_2$$

$$\rightarrow RO = C - NH_2$$

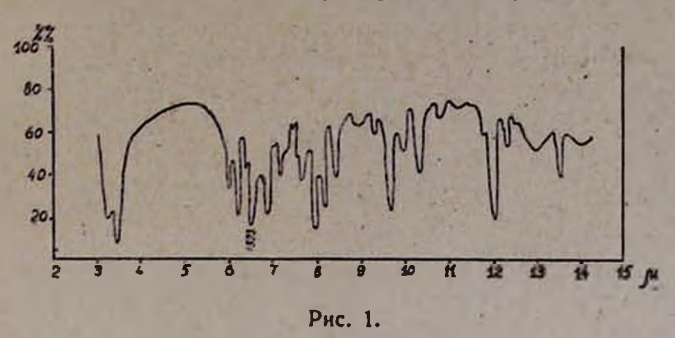
$$\rightarrow RO =$$

 $R=CH_{3}$ -, $C_{2}H_{5}$ -, $C_{3}H_{7}$ -, $i-C_{3}H_{7}$ -, $C_{4}H_{9}$ -, $i-C_{4}H_{9}$ -, $C_{5}H_{11}$ -, $i-C_{5}H_{11}$ -

Как видно из схемы, в результате циклизации *п*-алкоксибензоилтиосемикарбазидов можно было ожидать образования двух структур: (III) и (IV). В одном случае двухвалентная сера представлена в виде >C=S, в другом → >C—SH группировок. Для проверки вопроса, какой из указанных структур следует дать предпочтение, мы решили на примере 3-(*п*-изобутоксифенил)—триазола-1,2,4, изучить спектр поглощения в инфракрасной области (см. рис. 1).

Данные спектрального анализа показали наличие полосы по лощения, соответствующей частоте колебания 1593 $c \kappa^{-1}$, характер-

ной для >C=S группы. Однако эта группа лабильна и способна легко перегруппировываться в сульфгидрильную группу ⇒С—SH. В этом



без труда можно убедиться в случае алкилирования ее через соответствующий меркаптид (см. сообщение II).

Полученные тиосемикарбазиды и продукты их циклизации представлены в таблицах 1 и 2.

Спектральный анализ произведен в отделе физической химии ВНИХФИ Ю. Н. Шенкером. Элементарный анализ выполнен С. Н. Тонаканян и Р. А. Мегроян.

В экспериментальной части описывается получение *п*-метоксибензоилтиосемикарбазида и 3-(*п*-метоксифенил)-5-меркаптотривзола-1,2,4, по примеру которых синтезированы все остальные члены этих двух небольших гомологических рядов.

Экспериментальная часть

п-Метоксибензоилтиосемикарбазид. В трехгорлую круглодонную колбу, снабженную мешалкой, капельной воронкой и термометром, погруженным в жидкость, помещают 0,11 моля солянокислого тиосемикарбазида и 70 мл сухого пиридина. Содержимое колбы при перемешивании охлаждают до —5° и при этой температуре медленно, в течение 2—3 часов, приливают 0,1 моля хлорангидрида п-метоксибензойной кислоты так, чтобы температура смеси не поднималась выше—2,—1°. По окончании прибавления, не удаляя бани, перемешивание продолжают еще 4 часа и после оставления на ночь содержимое колбы сливают в 600 мл холодной воды; образовавшийся осадок отсасывают и тщательно промывают холодной водой. Высушенное на воздухе вещество для очистки перекристаллизовывают из концентрированной уксусной кислоты. Получают бесцветный кристаллический продукт с т. пл. 228°C.

3-(п-Метоксифенил)-5-меркаптотриазол-1,2,4. В автоклаве емкостью 0,5—1 л помещают раствор метилата натрия, приготовленный из 2,5 г (0,11 г-ат) металлического натрия и 150 мл сухого метилового спирта, 0,1 моля п-метоксибензоилтносемикарбазида и 150 мл сухого метилового спирта. Температуру доводят до 145—150° и при этой

The state of the s	1100			A	н а	л н	3	2000
SECTION OF THE PARTY.		100	0/0	C	0/0	Н	0/0	S
R	Выход в °/о		вычислено	найдено	вычислено	найдено	пычислено	найдено
CH ₃ —	72.1	251	52.15	52.43	4.38	4.50	15,07	15,66
CH ₂ -CH ₃ -	87,0	258	51.29		5.01	4,61	14,45	100
CH ₂ —CH ₂ —CH ₂ —	92,6	260	56,17	55,94	5,57	5,79	13,63	13,38
CH ₃ CH—	87,1	244	56,17	56,42	5,57	5,81	13,63	13,89
CH ₃ -CH ₂ -CH ₃ -CH ₂ -	72.8	235	57,83	57,80	6,02	6,09	12,86	12,88
CH ₃ CH-CH ₃ -	78,9	249	57,83	58,02	6.02	6,22	12.86	12,70
CH ₂ -CH ₂ -CH ₂ -CH ₂ -CH ₂ -	86.0	246	59,32	59,56	6,51	6.52	12,18	12,16
CH ₃ CH—CH ₂ – CH ₂ —	90.0	256	59,32	59 10	6,51	6,74	12,18	12,23

					_			
				A	H a	л II	3	
		*	0/0	C	0/6	H	0/6	S
R	Выход в о	Т. ил. в °С	вычислено	найдено	онаислено	папдено	пычислено	найдено
CH _a —	80,0	228	48,00	48,09	4,92	5.11	14.23	14,50
CH ₂ -CH ₂ -	87,0	221	50,19	50,52	5,47	5,38	13,40	13,38
CH ₂ -CH ₂ -CH ₂ -	89,0	208	52,16	52,29	5,96	6,19	12,66	12,42
CH ₃ CH—	69,7	218	52,16	52,44	5,96	5,71	12,64	12,87
CH ₃ -CH ₂ -CH ₂ -CH ₂ -	75,2	205	53,92	53,85	6,41	6,50	11,99	12,03
CH ₃ CH-CH ₃ -	82,1	188	53,92	54,20	6,41	6,59	11,99	12,22
CH3-CH3-CH3-CH3-CH3	90,0	203	55,48	55,72	6,80	7.04	11,39	11,33
CH ₃ CH-CH ₂ -CH ₃ -	76,8	213	55,48	55,56	6,80	6,84	11,39	11,44

температуре нагревают смесь в течение 3 часов. По охлаждении продукт переносят в стакан, промывают автоклав 100 мл метилового спирта, который присоединяют к основному продукту. Раствор фильтруют, спирт полностью отгоняют в вакууме водоструйного насоса и остаток растворяют в 400 мл ледяной воды. Для выделения п-метоксифенилмеркаптотриазола к водному раствору, при помешивании, приливают соляной кислоты до кислой реакции на конго. Выпавший осадок отсасывают, промывают водой, 50%, уксусной кислотой и снова водой. Высушенное на воздухе вещество перекристаллизовывают из уксусной кислоты; т. пл. чистого продукта 251°.

Выволы

Синтезированы неописанные в литературе *п*-метокси-, этоксипропокси-, изопропокси-, бутокси-, изобутокси-, амилокси-, изоами, локситиссемикарбазиды и соответственно 3-замещенные *п*-альоксифенил-5-меркаптотриазолы-1,2,4.

1- 1 Неститут тонкой органической химни АН АрмССР

Поступило 12 VII 1957

Ա. Լ. Մնջոլան, Վ. Գ. ԱՖրիկյան և Ա. Ա. Դոխիկյան

ZԵՏԱԶՈՏՈՒԹՅՈՒՆՆԵՐ 1,2,4-ՏՐԻԱԶՈԼԻ ԱԾԱՆՑՅԱԼՆԵՐԻ ՍԻՆՔԵԶԻ ԲՆԱԳԱՎԱՌՈՒՄ

Հաղորդում I։ Մի քանի 3-(պ-ալկօբսիֆենիլ)-5-մերկապտո-1,2,4-արիազոլներ.

ILIFONDANEIT

1,2,4-Տրիազոլի և նրա ածանցլալների սինթեզի բնագավառում կատարված ուսուքնասիրությունները համեմատաբար սահմանափակ են։ Գրասաբանում այդ կարգի միացությունների ֆիզիոլոգիական հատկությունները։ Սակալն եղած հակիրձ տեղեկությունները ցույց են տալիս, որ այդ խմբի միացություններն օժտված են բազմակողմանի բիոլոգիական ակտիվությամբ, միացություններն օժտված են բազմակողմանի բիոլոգիական ակտիվությամբ, դեցությամբ։

Ալս տվյալները պատճառ հանդիսացան զբաղվելու փոխարկյալ խմբեր ունեցող 1,2,4-արիազոլի նոր ածանցլալների սինԹեզով, նպատակ ունենալով ուսումնասիրել նախատեսնված միացությունների բիոլոգիական հատկությունները։

Ներկա աշխատանքում նկարագրվում են 1,2,4-տրիազոլի օղակի 3-դիրքյում պ-ալկօքսիֆենիլ- և 5-դիրքում մերկապտո- խմբեր ունեցող միացուքյումներ։ պ-Ալկօքսիֆենիլ խմբերի օգտագործունն իր հիմքում ունեցել է մեր մախորդ աշխատանքներից մեկում՝ ըենզիմիդազոլի ածանցլալների սինիժեզի ժամանակ նկատված ալս փաստը, որ բենզոլի օղակի պարա-դիրքում ալկօքսի ազդեցության ուղղությունը։ միացության ակտիվությունը և սովսիկականությունը, իսկ հրրենն էլ նուլնիսկ ջարջում մեր կատարած ուսուցնասիրությունները պարզել են, որ րիոլոդիական հատկություններ բնորոշման համար որոշակի դեր են կատարում ալկօջարջում մեր կատարած ուսուցնասիրությունները պարզել են, որ րիոլոդես նաև ռադիկալների մեծությունը և սովալ միացությանը, հրոնական էլ նուլնիսկ թարության ակտիվությունը և սովալանուն իրև նաև և հատարում են նաև հատարություններ և սովար և հատության և հատկու նաև հարանակ և հատկությունը։

Տրիազոլների սինԹեզը իրագործել ենք դրականութիլան մեջ նկարագրված եղանակով։ Սինթեզված միացութիլուններից մեկը՝ 3-(պ-իզոբուտօջոիֆենիլ)-1,3,4-տրիազոլը ևնթարկվել է սպեկարալ անալիղի, որի տվյալները

բերված են 1 նկարում։

ЛИТЕРАТУРА

- 1. C. Ainsworth, R. G. Jones, J. Am. Chem. Soc., 75, 4915 (1953).
- 2. C. Ainsworth, R. G. Jones, J. Am. Chem. Soc., 77, 621 (1955).
- 3. AM. HAT., 1,825,549 (1931), C. A., 26, 258 (1932).
- 4. M. L. Stein, L. D'Antoni, Farmaco Ed. Sc., 10, 235 (1955).
- 5. C. Ainsworth, R. G. Jones, J. Am. Chem. Soc., 77, 1538 (1955).
- 6. А. Л. Миджоян, В. Г. Африкян, А. Н. Оганесян, Н. М. Диванин, ДАН АрмССР, 18, 111 (1954).
- 7. А. Л. Миджоян, В. Г. Африкян, А. А. Дохикян, А. Н. Оганесян, ДАН АрмССР, 18, 7 (1954); А. Л. Миджоян, В. Г. Африкян, А. А. Дохикян, ДАН АрмССР, 18, 39 (1954); А. Л. Миджояч, В. Г. Африкян, М. Т. Григорян, ДАН АрмССР, 18, 75 (1954) А. Л. Миджоян, М. Т. Григорян, ДАН АрмССР, 18, 135 (1954).

Քիմիական գիտ. սեբիա

X. № 5, 1957

Серия химических наук

А. Л. Миджоян, В. Г. Африкян и А. А. Дохикян

Исследования в области синтеза производных триазола-1,2,4

Сообщение II. Некоторые 3-(п-алкоксифенил)-5-алкилмеркаптотриазолы-1,2,4

В прелыдущем сообщении [1] нами были описаны 3-(*п*-алкокси-фенил)-5-меркаптотриазолы-1,2,4, которые существуют в двух тау-томерных формах (1) и (II).

По данным спектрального анализа, в указанных соединениях в основном превалирует форма (II). Несмотря на сильное смещение таутомерного равновесия в сторону этой формы, доказательством существования второго таутомера служит их способность растворяться в щелочах и алкилироваться за счет меркапто-группы через соответствующий меркаптид.

Введение алкильных радикалов различного состава и строения в лабильную сульфгидрильную группу фиксирует в пятом положении триазолового кольца алкилсульфидные остатки и представляет таким образом возможность изучить зависимость свойств полученных соединений от количества метиленовых звеньев и расположения их в алкильном радикале.

Алкилирование произведено общим для такого типа соединений методом; при этом исходный триазол вводился в реакцию с алкилгалогенидом в присутствии метилата натрия, а продукт реакции выделялся путем экстрагирования растворителем, преимущественно бензолом. После отгонки растворителя, выделившееся алкилпроизводное перекристаллизовывалось из соответствующего растворителя.

Хлоргидраты алкилмеркаптотриазолов получены в сухом эфире обработкой эфирным раствором хлористого водорода.

В экспериментальной части описан общий для всех соединений способ получения алкилмеркаптотриазолов и их хлористоводородных солей. Перечень полученных соединений приведен в таблицах 1—8.

Элементарные анализы произведены С. Н. Тонаканян и Р. А Мегроян.

R	Выход в °/о Т. пл. в °С		вычислено	Вычислено оо м на			вычислено S % S % S % S % S % S % S % S % S % S		Т. пл. хлоргил- ратов в °С
CH ₃ — CH ₃ —CH ₂ —CH ₂ — CH ₃ —CH ₂ —CH ₂ — CH ₃ —CH— CH ₃ —CH ₂ —CH ₂ —CH ₂ —CH ₂ —	68 3 68 5 60 0 72 4 64 6	160 132 150	57, 83 59, 31 59, 31	56 44 57 89 59 52 59 09 60 83	6,02 6,46 6,46	6,15 6,30 6,60	12,85 12,16	13, 27 13, 08 12, 01 12, 39 11, 21	150
CH ₃ CH—CH ₃ — CH ₃ —CH ₂ —CH ₂ —CH ₂ —CH ₂ —	76.3 68,9		1 10-					Die Co	99—100 140
CH ₃ CH—CH ₂ —CH ₃ —	65,4	120	61,86	61.75	7,22	7,01	10,99	11.19	146

			The same of the same of		_	_			
			Анализ •/ _a С _{•/₀} Н _{•/₀} S						
R	Выход п 0/0	Т. пл. в С	вычислено	нандено	онэизньти	найдено	пычислено	пайдено	Т. ил. хлоргил-
CH ₃ CH ₃ CH ₂ CH ₃ CH ₂ CH ₂	76,9 68,3 60,0	128	54 29 56 17 57 83	56,33	5,53	5.68	13,62	14,35 13,33 12,86	190 123 151
CH ₃ CH—		не крист.	57,83	5 7,9 9	6,07	6,10	12,85		1
CH ₃ -CH ₂ -CH ₂ -CH ₂ -CH ₃ -CH ₋ CH ₂ -CH ₂ -C	60,4 70,0		59,31 59,31	115		-		-	90
CH ₃ CH ₂	100		60,64			23		12,25	117
CH ₃ CH-CH ₂ -CH ₂ -	61,3	1111	60,64	60,92	6,85	6,80	11,55	13711	110

18,70	100	+	100	2	н з	ал н	3	196	
2 22 20 20 20 20 20 20 20 20 20 20 20 20			0/1	, C	0	, Н	0 o S		EII T
R	0/0 H FO	IIA. 13 C	пычислено	ыйдено	пычислено	найдено	пычислено		ил. хлоргид- гов в 'С
	Выход	⊢	PAR	naii,	PAIG	найл	PAU	Hailin	Т. пл. ратов
CH ₃ —	45,0	117	57,83	57,50	6,02	5,77	12,85	13,09	185
CH ₃ —CH ₂ —	68,7	143	59,31	58,99	6,46	6,67	12,16	12,43	170
CH ₃ —CH ₂ —CH ₂ —	43,5	90	60,61	60,88	6,85	7.09	11,55	11,85	134
CH ₃ CH-	50,0	118	60,64	60,76	6,85	6,70	11,55	11,55	149
CH ₃ -CH ₂ -CH ₂ -CH ₂ -	52,5	134	61,86	61,54	7.22	7,35	10.99	10,71	117
CH ₂ CH-CH ₂ -	67,4	130	-	61,70		7,37	10,99	11,10	121
CH3-CH2-CH2-CH2-CH2-	69,2	97	62,95	62,87	7,54	7,72	10,49	10,41	145
CH ₃ CH—CH ₂ —CH ₂ —	62,0	103	62,95	63,16	7,54	7,24	10,49	10,44	141

$$\begin{array}{c|c}
CH_3 & CH-O & C-N \\
CH_3 & CH-O & NC-SR
\end{array}$$
NH

				A	н а	л	н з						
			0/0	C	0/0	0	0 S	ГНД					
R	BMXOA B 0/0	Т. пл. в 'С	вычнслено	найдено	вычнслено	найдено	вычислено	найдено	Т. пл. хлоргид-				
CH ₃ -	56.0	157	57.86	58.01	6.02	5,20	12.85	12,91	152				
CH ₃ -CH ₂ -	52.2	115	59 31	58,99			12,16	12,25	125				
CH ₃ -CH ₂ -CH ₂ -	57,0	110	60,64	60,80	6,85	7,00	11,55	11,44	116				
CH ₃ CH—	61,5	105	60,64	60,88	6,85	5,98	11,55	11,25	112—113				
CH3-CH2-CH2-CH2-	68,0	107	61,86	61,77	7,22	5,99	10,99	10,88	138				
CH ₃ CH-CH ₂ -	58.5	93 —94	61,86	61,66	7,22	7 ,07	10,99	11,09	99				
CH3-CH2-CH2-CH3-CH3-	66,1	110	62,95	63,08	7.547	40	10,49	10,23	95				
CH ₃ CH—CH ₂ —CH ₂ —	63,8	131	62 95	62,85	7 54 7	54	10,49	10,81	119120				

					- 1				_
	- 1			_ ^ A	н а	л н	3		1
		100	0/0	C	0/	H	0/0	S	HT
P	Выход в 0/0	Т. пл. в "С	вычислено	найдено	вычислено	найдено	вычислено		Т. пл. хлоргил-
CH ₃ —	70.3	159	59.31	59,06	6,46	6,18	12,16	12,13	154
CH ₃ —CH ₂ —	77.9	113	60,64			6,58	11,55		_
CH ₂ —CH ₂ —CH ₃ —	70,7	116	61,86	62,09	7,22	7,50	10,99	10,77	125
CH ₃ CH-	72,0	118	61,86	61,65	7,22	6,94	10,99	11,32	127
CH ₈ -CH ₂ -CH ₂ -CH ₃ -	70,9	115	62,95	63,06	7,54	7,40	10,49	10,25	104
CH ₃ CH—CH ₃ —	63,0	117	62 ,9 5	63,09	7,54	7,29	10,49	10,21	102
CH ₃ -CH ₂ -CH ₂ -CH ₂ -CH ₃ -	68,7	110	63,95	64,30	7,83	7,52	10,03	9,90	113
CH ₃ CH-CH ₂ -CH ₃ -	67.0	125	63,95	63,85	7,83	7,85	10,03	9,89	120

$$\begin{array}{c} \text{CH}_{\text{3}} \\ \text{CH}_{\text{3}} \end{array} \\ \text{CH}_{\text{CH}_{\text{3}}} \\ \text{CH}_$$

			Анализ							
			_º/₀ C		- 0/	_o H	0/0 S		THI	
R	Выход в 0/0	Т. пл. в °С	вычислено	пайдено	вычислено	найдело	вычнслено	найдено	Т. пл. хлоргид-	
CH _a	83.3	175	59.31	59,20	6.46	6,58	12.16	11,97	187	
CH ₂ -CH ₂ -	84,2	119	60,64		-	6,62	11.55		84	
CH ₂ -CH ₂ -CH ₂ -	60,1	110	61,86	61,58	7,22	6,92	10,99	11,15	140	
CH ₃ CH	82,1	95	61,86	61,77	7,22	7,16	10,99	11,19	165	
CH ₂ -CH ₂ -CH ₂ -CH ₂ -	70,0	115	62,95	62,61	7,54	7,13	10,49	10,71	134	
CH ₂ CH-CH ₂ -	71,3	118	62,95	63,21	7,54	7,39	10,49	10,53	126	
CH ₃ -CH ₃ -H ₃ -CH ₃ -CH ₃ -	62,0	110	63,95	63,81	7,83	7,99	10,03	9,81	120	
CH ₃ CH—CH ₃ —CH ₃ —	67,9	ı 34	53,95	64,09	7,83	7,69	10,03	10,21	131	

	1 1	-		A.		-			
	1	-2	0/0	C		и а л и 0/ ₀ Н		0/ ₀ S	
R		Т. пл. в °С	пычислено	найдено	вычислено	найдено	вычислено	пайдено	Т. пл. хлоргид ратон в С
CH ₃ —	54.0	199	60.64	60,77	6,85	6.79	11,55	11,39	182
CH ₃ CH ₄ —	64,7	117	61.86			7,33	10.99	11,05	
CH ₃ -CH ₃ -CH ₃ -	62.5	97	62,95	63,16	7,54	7,52	10,49	10,49	
CH ₃ CH—	68,5	103	62,95	63,20	7,54	7,64	10,49	10,85	123
CH ₃ -CH ₃ -CH ₃ -CH ₃ -	66.1	105	63,95	64,19	7,83	7,95	10,03	9,84	126
CH ₃ CH—CH ₃ —	77 ,2	110	63,95	63,64	7,83	7,55	10,03	9,85	101
CH - CH - CH - CH - CH -	61,2	115	64,86	65,06	8,11	7,77	9,61	9,38	132
CH ₃ CH-CH ₂ -CH ₂ -	53,1	106	64.86	64,90	8,11	8,10	9,61	9,68	

			Анализ						1.
			º/o C		º/o H		º/o S		HH
R	Выход в 0/0	Т. пл. в °С	вычислено	найдено	вычнслено	найдено	вычислено	найдено	Т. пл. хлор
CH ₃ —	76.9	140-141	60.64	60,89	6.85	6.69	11.55	11,29	176
CH ₃ -CH ₃ -	88,0	103-104	61,86			-			12000
CH ₂ -CH ₂ -CH ₂ -	68,0	114	62,95	62,41	7,54	7,23	10,49	.10,79	146
CH _s CH—	64,1	104	62 95	63,17	7,54	7,80	10,49	10,27	142
CH ₂ -CH ₂ -CH ₂ -CH ₂ -	60,4	124	63,95	64,22	7,83	7,67	10,03	10,04	139
CH ₃ CH-CH ₃ -	63, ci	122	63,95	63,99	7,83	7,87	10,03	10,22	115
CH,-CH,-CH,-CH,-CH,-	57,6	112	64,86	65,00	8,11	8 19	9,61	9,94	133
CH ₃ CH-CH ₃ -CH ₄ -	60,0	109	64,86	65 11	8,11	7,97	9.61	9,54	140

Экспериментальная часть

3-(n-Алкоксифенил)-5-алкилмеркантотриазолы-1,2,4. В круглодонную колбу с обратным холодильником помещают 150 мл сухого метанола и 1,15 г (0,05 г-ат) металлического натрия. К образовавшемуся алкоголяту прибавляют 0,05 моля 3-(n-алкоксифенил)-5-меркантотриазола-1, 2, 4. Для растворения последнего реакционную смесь нагревают в течение 2 часов, после чего прилив 0,05 моля алкилгалогенида снова нагревают от 2 до 3 часов. Полученный раствор фильтруют, отгоняют растворитель в вакууме водоструйного насоса и остаток экстрагируют, преимущественно бензолом. При удалении растворителя выделяется алкилпроизводное, которое перекристаллизовывают из соответствующего растворителя.

Хлоргидраты 3-(п-алкоксифенил)-5-алкилмеркаптотриазолов-1,2,4. Алкилпронзводное растворяют в сухом эфире и при помешивании приливают эфирный раствор хлористого водорода. Выпавший в осадок хлоргидрат отсасывают и тщательно промывают сухим

эфиром.

Вывод

Синтезированы 3-(*п*-алкоксифенил)-5-метил-, этил-, пропил-, изопропил-, бутил-, изобутил-, амил-, изоамилмеркаптотриазолы-1,2,4. Институт тонкой органической химии

АН АРМССР

Поступило 12 VII 1957

Ա. Լ. Մնջոյան, Վ. Գ. ԱՖրիկյան և Ա. Ա. Դոխիկյան

ՀԵՏԱԶՈՏՈՒԹՅՈՒՆՆԵՐ 1,2,4-ՏՐԻԱԶՈԼԻ ԱԾԱՆՑՅԱԼՆԵՐԻ ՍԻՆԹԵԶԻ ԲՆԱԳԱՎԱՌՈՒՄ

Հաղորդում II։ Մի բանի 3-(պ-ալկօբսիֆենիլ)-5-ալկիլմերկապտո-1.2,4-արիազոլներ
ԱՄՓՈՓՈՒՄ

Նախորդ հաղորդման մեջ [1] մեր նկարադրած 3-(պ-ալկօքսիֆենիլ)-5մերկապտո-1,2,4-արիաղոլների համար ենթադրվող երկու իզոմեր ձևերից հիճնականը, սպեկարալ անալիզի տվյալներով, հանդիսանում է երկրորդ ձևը (۱۱)։ Մյուս տաուտոմեր ձևի դոլության լավագուլն ապացուլցը կարող է հանդիսանալ սուլֆհիդրիլային խմբի հաշվին, համապատասխան մերկապտիդի միջոցով, ալկիլման ենթարկվելու նրանց ընդունակությունը։

րհարձ ժառավանություրընց, վաց ստմերիանուղ անանուրանվամ դրթիներտներ լողերեի ճարանին բ շխետևուղ դիտնությեսւրրրեն չատիություրրբեսող ուրմը ուրբնոմ փոփոխություրընն, կատանին տամերիանրբեր դուաճն չրանավանություն իստան ատերքու ստանվագ Ոսուֆչիմենինանիր իսլերնի դրձ ատերբե ետմամեսությար ու կասունվագնի

ЛИТЕРАТУРА

1. А. Г. Множови, В. Г. Африкян и А. А. Дохикян. Изв. АН АрмССР, СХН, 10, 357 (1951).

2 U34 U4 U5 U10 ТР СПРЕЗПРЕЗПРЕЗБРЕ ИНИТЕТРИЗР БЕДЕЧИТЕТ ИЗВЕСТИЯ АКАДЕМИИ НАУК АРМЯНСКОЙ ССР

Քիմիական գիտ, սեբիա

X, M 5, 1957

Серия химических наук

"Синтезы гетероциклических соединений". Вып. І.

Главный редактор А. Л. Миджоян. Издательство АН Армянской ССР, Ереван, 1956 г., 84 стр.

Интерес, который вызывает к себе огромный класс органических веществ—гетеропиклические соединения, обусловливается не только обширностью, по и все возрастающим практическим зпачением соединений этого класса, многие из которых, как известно, получаются в пастоящее время в промышленном масштабе.

В то время как по химии гетероциклических соединений за последние годы появился ряд книг, по лабораторному синтезу этих
соединений до сих пор нет практических руководств, а в изданных и
издаваемых периодических сборниках проверенных надежных методов
синтеза органических соединений, получивших признание химиков,
сравнительно мало места уделено гетероциклическим соединениям.

Институт тонкой органической химии Академии наук Армянской ССР поставил перед собой задачу восполнить этот пробел в литературе изданием серии "Синтезы гетероциклических соединений". Рецензируемая книга является первым выпуском этой серии. Она посвящена производным фурана, за последнее время приобретшим большое значение как в качестве сырья для получения из них большого числа полупродуктов тяжелого органического синтеза, так и для синтеза многочисленных физиологически активных препаратов, нашедших применение в медицине и ветеринарии.

В книге приводится описание проверенных в Институте тонкой органической химин методов лабораторного получения тридцати соединений (из коих двадцать четыре разработаны в ИТОХ), могущих быть использованными в качестве исходных веществ в разнообразных синтезах. По замыслу редакции "Синтезов" в последующие сборники этой серии, как и в первый, будут помещаться материалы не только ИТОХ, но и других учреждений и авторов, изъявивших согласие принять участие в их составлении, что, несомненно, сделает сборники более полноценными.

Описываемые в первом выпуске соединения расположены в алфавитном порядке. Описание способов их получения такое же, что и в других аналогичных изданиях. Литература использована до 1954 года включительно. Сборник снабжен предметным указателем.

Книга рассчитана на химиков-органиков, работающих в научноисследовательских учреждениях и заводских лабораториях, а также на студентов старших курсов химических факультетов, проходящих спецпрактикум по химии гетероциклических соединений. Известия, X, № 5—5 Актуальность составления данной серин сборников, описание и первом выпуске синтезов препаратов с достаточно высокими выходами, в большинстве случаев не ниже 80% теоретического количества обязательная предварительная проверка предлагаемых синтезов квалифицированными химиками и в общем хорошие оформление и качество издания являются несомненными достоинствами рецензируемой книги, выход в свет которой встречен с одобрением со стороны ряда крупных отечественных и иностранных ученых (А. Е. Арбузов, Н. И Шуйкии, М. М. Шемякин, П. Каррер, Р. Лейси и др.) и обещанием принять участие в составлении следующих выпусков (Н. И. Шуйкин—Москва, Я. Станек—Чехословакия, Р. Лейси—Англия, Р. Поль—Франция и др.).

В книге к сожалению имеются некоторые погрешности, впрочем мелкие, не существенные. К их числу относятся: несоблюдение гарнитуры цифр, обозначающих тома журналов в списках литературы, а также отдельных букв (страницы 17, 19, 31, 32, 36, 41, 50, 53, 68, 75, 78), не строгое соблюдение общепринятого шрифта при обозначении сокращенных слов: грамм, грамм-атом, литр и миллилитр (стр. 30, 32, 44, 54, 55, 59, 61, 63, 70), несоблюдение единообразия названия пятентон (стр. 41, 57, 58, 69) и др.

В заключение хочется выразить пожелание успеха Институту тонкой органической химии в хорошем начинании и недопущения отмеченных выше мелких погрешностей в последующих выпусках.

В. Д. АЗАТЯН.

የበዺԱՆԴԱԿՈՒԹՅՈՒՆ

Ընգհանուր և Ֆիզիկական թիմիա

ar o il cil e el e f e el e e e e	62
Մ. Դ. Մանվելյան, Ց. Վ. Քրմոյան և Լ. Գ. Շանինյան—Նատրիումի ալյումինատի լուծույթների էլեկարանագորդչության ուսումնասիրությունը	-
վ. Գ. Գիարոսյան— Ֆոոֆատային ապակիների էլեկտրական հատկությունները	305
U. 2. Ulancejuc, b. P. Aphumaumarpjuc-Pd-Ag, Pd-Cu & Pd-Au forme formula-	315
մտասերբեի աշատգրառինաշի արդանի ջիժնղար անանրատը, գաժան-	
դում !: Գալլադիում-պզինձ խառը կատալիզատորների ուսումնատիրությունը	333
Օրգանական քիմիա	
Ս. Ա. Վարդանյան և 8. Ե. Աղաջանյան— <i>Լեվուլինաթթվի էոթերների ոինթեղը</i> ՝	
1,8-դիջլորրուտեն-2-ից	341
U. Հ. Վարդանյան 4 Շ. Հ. Բադանյան— Վ <i>իևիլացետիլենի բիժիան։</i> Հաղորդում VI:	
րերեսանայիր ազիրորեն գրանուղն վերենանրանքըունը առևենարբը .	347
Հ. Տ. Եստյան և Ա. Գ. Վարդանյան—Հետապոտություններ սուլֆոթթուների էսթեր- ների բնադավառում։ Հաղորդում II: 4-Մեթիլ-7-կոմարիլսուլֆոէոթերների	
nebe homindanara. Totalitara 11. 2-0 alebi dun mebinari butakanneh	353
Ա. Լ. Մնջոյան, Վ. ծ. Աֆրիկյան և Ա. Ա. Գոխիկյան—Հետագոտություններ 1,3,4-	333
արիազոլի ածանցյալների սինթեղի ընագավառումն Հադորդում I: Մի ջանի	
8-(այ-ալկօբսիֆենիլ)-5-ժերկապաո-1,2,4-արիազոլներ	357
Ա. Լ. Մնջոյան, Վ. Գ. Աֆրիկյան և Ա. Ա. Դոխիկյան—Հետագո-ություններ 1,2,4	
արիազոլի ածանցյալների սին թեզի ընադավասում։ Հաղորդում II: Մի բանի	
3-(պ-ալկօբոիֆենիլ)-5-ալկիլ ժերկապաո-1,2,4-արիադոլներ	363
աննավատություն ը ձևախոստենուց	13
Վ. Դ. Цорвојо —, Синтезы гетероциклических соединений . Вып. 1	369
оглавление	
OTVIABVILITYE	
	C
	Стр.
Общая и физическая химия	
М. Г. Манвелян, Т. В. Крмоян и Л. Г. Шагинян-Изучение влектропроводно-	
сти растворов алюмината натрия	305
В. П. Петросян-Электрические свойства фосфатных стекол	315
А. А. Алчуджан и Е. Т. Кристостурян—Изучение смешанных Pd—Ag, Pd—Cu	
и Pd—Au катализаторов при гидрировании бензола. Сообщение II. Изу-	220
чение смешанных Pd—Cu катализаторов	333
Органическая химия	
С. А. Варданян и Ц. Е. Агаджанян—Синтез эфиров левулиновой кислоты из	
1,3-дихлорбутена-2	341

C.	A.	Вартанян и Ш. О. Вибиния—квана визмиществения	-
			347
I.	T.	Есаян А. Г. Варданян-Исследования в области эфиров сульфокислот.	
		Сообщение II Синтез 4-метил-7-кумариловых сульфоэфиров	353
A.	Л.	Миджови В. Г. Африкан и А. А. Дохикин-Исследования в побласти	
•••	•••	синтеза производных триазола-1,2,4: Сообщение 1. Некоторые 3-(п-алко-	
		менфения)-5-меркаптотриазолы-1,2.4	357
Δ	n	Мнджоян. А. Г. Африкян и А. А. Дохикян-Исследования в области	
7.	JI.	синтеза производных триазола-1,2,4. Сообщении II, Некоторые 3-(n-ал-	
		коксифения)-Б-аякиямеркаптотриазолы-1,2,4	363
		коксифения)-9-яякимиськаптоградова 1/2/-	000
		Критика и библиография	
IR	П.	Азатян-, Синтезы гетероциклических соединений. Вып. 1	369
	~		

ԽՄԲԱԳՐԱԿԱՆ ԿՈԼԵԳԻԱ

Վ. Դ. Ազաայան (դիա բարաուգար), Ա. Հ. Ալչուջյան, Վ. Գ. Աֆրիկյան, Գ. Ց. Թադևոսյան (հարագրի տեղանալ), Վ. Մ. Թառայան, Հ. Ա. Հարոյան, Մ. Գ. Մանվելյան, Ա. Լ. Մնջոյան (դատարի), Հ. Հ. Չալթիկյան, Ս. Հ. Վարդանյան, Ց. Վ. Քրմոյան։

РЕДАКЦИОННАЯ КОЛЛЕГИЯ

В. Д. Азатян (ученый секретарь), А. А. Алчуджан, А. А. Ароян, В. Г. Африкян, С. А. Вартанян, Т. В. Крмоян, М. Г. Манвелян, А. Л. Миджоян (ответ. редактор), В. М. Тараяч, Г. Т. Татевосян (зам. редактора), О. А. Чалтыкян.

BP 11043

Заказ № 404

Изд. № 1485

Тираж 700

Сдзно в набор 9/X 1957 г., подписано к печати 19/XII 1957 г. Бумага 70×1081/16 5,8 печ. л.